Universidad Nacional Autónoma de México

Escuela Nacional de Estudios Profesionales ZARAGOZA





GLUCOSAMINA 6-FOSFATO ISOMERASA
(DESAMINASA) DE E.coli:

PURIFICACION Y PROPIEDADES

T E S I S
QUE PARA OBTENER EL TITULO DE:
B I O L O G O
P R E S E N T A:

ELISEO CANTELLANO DE ROSAS

JULIO DE 1983





UNAM – Dirección General de Bibliotecas Tesis Digitales Restricciones de uso

DERECHOS RESERVADOS © PROHIBIDA SU REPRODUCCIÓN TOTAL O PARCIAL

Todo el material contenido en esta tesis esta protegido por la Ley Federal del Derecho de Autor (LFDA) de los Estados Unidos Mexicanos (México).

El uso de imágenes, fragmentos de videos, y demás material que sea objeto de protección de los derechos de autor, será exclusivamente para fines educativos e informativos y deberá citar la fuente donde la obtuvo mencionando el autor o autores. Cualquier uso distinto como el lucro, reproducción, edición o modificación, será perseguido y sancionado por el respectivo titular de los Derechos de Autor.

INDICE

I. INTRODUCCION	•	1
II. PLANTEAMIENTO DEL PROBLEMA Y OBJETIVOS.	•	6
III. MATERIALES	•	8
IV. METODOS	•	11
IV.l Medidas de actividad enzimática	•	11
IV.2 Medida de la concentración de proteína	s.	14
IV.3 Electroforesis en gel de poliacrilamid	a.	15
IV.4 Electroenfoque analítico en capa fina de poliacrilamida	•	16
IV.5 Ultracentrifugación	•	17
IV.6 Cromatografía analítica de filtración en gel	÷	18
IV.7 Análisis de aminoácidos		19
IV.8 Diagrama del proceso de purificación y caracterización de la glucosamina 6-fo fato isomerasa (desaminasa).	s- •	20
V. RESULTADOS	•	24
V.1 Purificación de la enzima	•	24 27
V.3 Estabilidad de la enzima	•	28
V.4 Peso molecular y composición de subunid	lađ	29
V.5 Composición de aminoácidos	•	30
V.6 Espectro de Absorción	•	30
V.7 Punto isoeléctrico		31
V.8 Actividad molecular	•	31

v.9 (Comportamien	to co	operativ	70.	•	. •	32
V.10	Dependencia to al pH.	de l	_	netros •	con	respec-	33
v.11	Cinética en	ause	ncia de	produ	ctos.	2	35
V.12	Cinética de	la a	ctivacio	Sn por	GlcN	Ac6P	36
VI. DISC	CUSION Y CON	CLUSI	ONES.	•	•		37
VII. BII	BLIOGRAFIA	•		• • • •	• •		52

I INTRODUCCION

En 1956, Leloir y Cardini (1) describieron por primera vez la transformación enzimática de la glucomamina-6-fosfato (GlcN6P) en fructosa-6-fosfato (Fru6P) y NH₃ en preparados de riñón de cerdo. La enzima, que cataliza la siguiente reacción:

GlcN6P +
$$H_2O = Fru6P + NH_3$$

fué purificada parcialmente por estos autores por fraccionamiento salino con sulfato de amonio. También demostraron la reversibilidad de la reacción,
y el efecto activador de la N-Acetil D-glucosamina
6-fosfato (GlcNAc6P). Este efecto es discutido por los autores como el de una posible coenzima, que participaría en la reacción. En esa época, no
se había desarrollado la teoría alostérica, que actualmente nos permite replantear este fenómeno como
de carácter regulatorio. Posteriormente, Comb y Roseman (2) estudiaron la enzima en E.coli, de don
de la purificaron parcialmente a partir de bacterias
cultivadas en glucosamina como única fuente de carbono y nitrógeno. El procedimiento de estos autores
consistió en el fraccionamiento del extracto crudo

con sulfato de protamina seguido de cromatografía en columna de intercambio catiónico; en este trabajo se describen algunas propiedades fundamentales de la enzima, y la activación por GlcNAc6P, — que es semejante a la descrita en la enzima de — riñón de cerdo. La actividad de esta enzima ha — sido demostrada también en diferentes tejidos y — organismos, incluyendo cerebro humano (3), Proteus vulgaris (4), Bacillus subtilis (5), Musca doméstica (6), Drosophila virilis (7), Aerobacter cloacae (8) y Biphidobacterium biphydum (9).

La enzima fué denominada inicialmente como - glucosamina 6-fosfato desaminasa, y en los primeros trabajos fué considerada fundamentalmente como una enzima catabólica, capaz de catalizar una reacción necesaria para la utilización de los carbonos de la glucosamina en el metabolismo energético. La comisión de enzimas de la Unión Internacional de Bioquímica, la ha clasificado actualmente en la clase 5, de las isomerasas, con el nombre de 2-amino-2-desoxi-D-glucosa-6-P-cetol isomerasa, y el número de clasificación 5.3.1.10.

Se recomendó también como nombre común el de glucosamina 6-fosfato isomerasa (desaminasa).

También se la menciona frecuentemente en la literatura como glucosamina desaminasa.

El carácter reversible de la reacción, ha llevado a plantear el posible papel biosintético
de esta enzima, es decir, su capacidad para iniciar la formación de aminoazúcares y sus derivados a partir de un intermediario glucolítico, la
FruéP. Se conoce otra enzima, que cataliza otra
reacción de una manera irreversible, que ha sido
reconocida desde hace mucho tiempo (10, 11) como
la ruta de formación de la GlcNéP. Esta reacción
es:

Fru6P + Glutamina - GlcN6P + Glutámico

y la enzima correspondiente, se denominó inicialmente como una transferasa, de la clase 2: glutamina-Fru6P amido transferasa (E.C.2.6.1.16.).

Actualmente se ha reclasificado como isomerasa, y
se denomina glucosamina 6-P isomerasa (formadora
de glutamina), E.C.5.3.1.19.

Sin embargo, la isomerasa desaminasa, puede cumplir también un papel en la formación de la - GlcN6P. Es necesario tener en cuenta la constante de equilibrio de la reacción, (K_{eq} = (GlcN6P)/

(Fru6P) (NH₃) = 1.8 x 10⁻⁴ M (1)) y el hecho de - que la etapa siguiente en la vía de síntesis de - los aminoazúcares (fig. a) es la N-acetilación de la GlcN6P con acetil CoA, para formar GlcNAc6P. Esta última reacción es muy exergónica (ΔG² del orden de las -8.0 KCal/mol, (12)), de modo que - acoplada a la aminación-isomerización de la Fru6P, permitiría la formación de aminoazúcares a partir de intermediarios glucolíticos sin intervención de la enzima que utiliza glutamina.

Esta idea se ha visto confirmada por Holmes y Russell (13), quienes aislaron mutantes de E.coli K 12, carentes de la isomerasa, dependientes de la glutamina. También se ha mencionado la existencia de esta enzima en dípteros (6, 7). En ambos casos, la formación de aminoazúcares para la síntesis de componentes de la parad bacteriana (mureína y lipopolisacáridos) o del exoesqueleto de la quitina, dependería únicamente de la actividad de la glucosamina 6-fosfato isomerasa (desaminasa).

Estos resultados, llevan a replantear el interés en las funciones biosintéticas de la glucosamina 6-fosfato isomerasa desaminasa. La existencia de un regulador alostérico, puesta en evidencia -

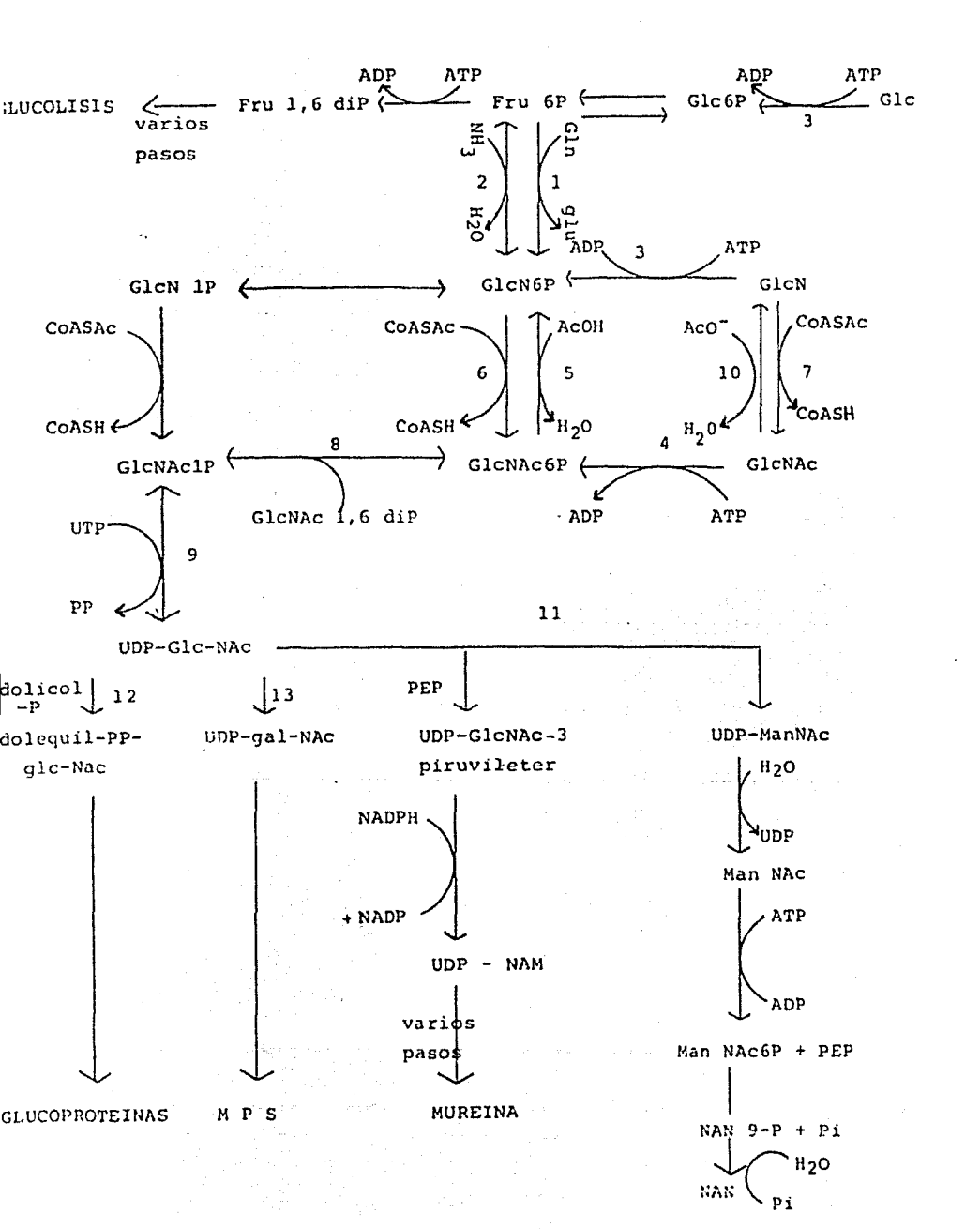


Figura a. Rutas metabólicas de los aminoazocares.

ABREVIATURAS

Glc ; glucosa

Gal : galactosa

Man : manosa

glcN ; glucosamina

Fru: fructosa

gln ; glutamina

AcOH ; ácido acético

CoASH : coenzima A

PEP; fosfoenol piruvato

NAN ; ác. N-acetil neuraminico

NAM ; ác. N-acetil murámico

MPS ; mucopolisacaridos

Pí ; fosfato

PP ; pirofosfato

ENZIMAS

- glucosamina 6-fosfato isomerasa dependiente de la glutamina.
- 2. Glucosamina 6-fosfato isomerasa (desaminasa)
- 3. Glucosamian cinasa, solo descrita en Schistosoma mansoni E.C. 2.7.1.8.
- 4. N-acetil glucosamina cinasa 2.7.1.59.
- 5. GlcNAc6P acetil hidrolasa E.C. 3.5.1.25.
- 6. Acetil transferasa E.C. 2.3.1.4.
- 7. GlcNAc transferas E.C. 2.3.1.3.
- 8. fosfoacetil glucosamina mutasa E.C. 2.7.5.2.
- 9. UDP-GlcNAc pirofosforilasa
- 10. N-Ac-glucosamina acetil hidrolasa E.C. 3.5.1.33.
- 11. UDP-GlcNAc 2-epimerasa E.C. 5.1.3.14.
- 12. Pirofosforil-doliquil-di-P-GlcNAc sintetasa
- 13. UDP-GlcNAc 4-epimerasa E.C. 5.1.3.7.

desde los primeros trabajos sobre esta enzima (1), nos pone frente a un sistema alostérico reversible con significación funcional en ambos sentidos, lo que constituye una situación excepcional en el metabolismo.

La reacción en sí, también es una situaciónexcepcional. Se trata de una isomerización ceto-aldólica acoplada a un proceso de aminación-desa
minación (reacción de Amadori, (14)) de la cual esta enzima constituye un único ejemplo biológico.
En uno de los últimos trabajos significativos sobre esta enzima, Milderfort y Rose (15), estudiaron
la estereoquímica y el mecanismo químico de la reac
ción catalizada por la isomerasa desaminasa.
Con este fin, utilizaron el preparado parcialmente
purificado de Comb y Roseman (2) en 1958.

De esta enzima aún no se han publicado purificaciones totales, de ninguna fuente animal o mi crobiana ni existen en consecuencia, estudios estructurales sobre la misma.

El presente trabajo forma parte de un estudio más amplio de esta enzima en E.coli que abar ca aspectos cinéticos y mecanísticos. Su objetivo consiste en desarrollar una ruta de purificación total que permita obtener cantidades suficientes de la enzima, y reunir al mismo tiempo in formación cinética y estructural fundamental para apoyo del programa general de trabajo. Esto incluye el estudio de la cinética de velocidades iniciales (en ausencia de productos) en ambos sentidos de la reacción, y de la variación de los parámetros cinéticos con el pH para establecer las condiciones de trabajo en el futuro. de el punto de vista estructural es también impor tante conocer el coeficiente de absortividad de la enzima pura, a los efectos de establecer en ca da experimento su concentración precisa. Esto se hará ventajosamente, estableciendo la composición de aminoácidos de la enzima. Este dato además de

su interés por sí mismo y como referencia para - apoyar consideraciones de biología comparada, per mitirá calcular con precisión la masa de la proteína colocada en la muestra analizada, lo que es el fundamento de la medida del coeficiente de absortividad molar. Asimismo con la composición de - aminoácidos se podrá calcular el volumen específico de la proteína que es un dato importante para estudios de sedimentación en la ultracentrífuga analítica. Otro objetivo del estudio es el de conocer el punto isoeléctrico y el peso molecular de la proteína nativa, su posible composición en sub unidades, y el peso molecular de las mismas.

El trabajo se desarrollará con la bacteria E.coli debido a su facilidad de cultivo y el carácter adaptativo de la síntesis de la glucosamina 6-fosfato isomerasa, cultivada en un medio inductor con glucosamina como única fuente de carbo no y nitrógeno.

III MATERIALES

Las enzimas, las proteínas y los derivados de carbohidratos se adquirieron a Sigma Chemical Co. (Estados Unidos), los demás reactivos fueron de pureza analítica y se compraron a Baker y a Merck de México. Los geles de filtración molecular y de intercambio iónico, así como los anfolitos para electroenfoque ("Pharmalyte") fueron productos de Pharmacia Fine Chemical (Suecia). El Ultrogel AcA 34 se adquirió a LKB Produkter (Suecia). La GlcN6P con anhidrido acético en solución de bicarbonato de sodio, y purificada por cromatografía de intercambio iónico en Dowex 1-acetato, de acuer do al procedimiento de Leloir y Cardini (1). La pureza del producto se verificó por cromatografía en capa fina sobre placas de celulosa microcristalina usando el siguiente sistema como disolvente: etanol, 5; acetato de amonio 1M, 2; ácido acético, 1; agua 1. En este sistema la GlcNAc6P tiene un -Rf de 0.60 mientras que el producto sin reaccionar, la GlcN6P migra con un Rf de 0.50. Las placas se revelaron para aminoazúcares con ninhidrina y para N-acetil aminoazúcares con la reacción de Elson y

Morgan (16). Además se usaron revelados de tipo general como los vapores de yodo y el rociado con ácido sulfúrico 5N seguido de calentamiento.

La matriz de afinidad se preparó enlazando -GlcN6P y epsilon-amino-caprof1 agarosa (2 meq. de grupos ácidos por ml. de gel empacado, adquiri do a Sigma Co.) por acoplamiento con carbodiimida. La suspensión de agarosa en agua destilada a pH -4.5 se mezcló con GlcN6P (forma ácida) para dar una concentración final de 100 mM, luego el pH se reajustó a 4.5. La reacción se efectuó a tempera tura ambiente en la presencia de 0.2 mmol/ml de cloruro de N-etil-N'-3-dimetil amino-propil-carbo diimida, durante doce horas. El gel se lavó con amortiquador Tris-HCl 0.1 M a pH 7.25 (25°C) que contenía NaCl 0.1 M. Después de su uso el gel fué lavado de la misma manera, adicionado con un volumen de glicerol y almacenado a -20°C. En la figura b se muestra la estructura del componen te activo de este medio cromatográfico de afinidad.

La E.coli B se cultivó en condiciones aeróbicas a 36°C y pH 7.0, glucosamina 0.05 M como única fuente de carbono y nitrógeno, en el medio mineral descrito por Comb y Roseman (2). El cultivo se -

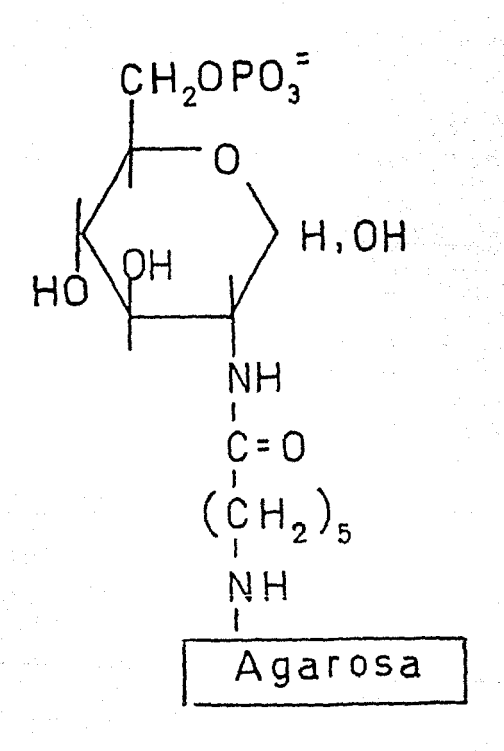


Figura b . Estructura de la matriz de afinidad utilizada para la purificación de la glucosamina 6-fosfato desaminasa.

realizó simultáneamente en tres fermentadores de 14 litros que contenían 10 litros de medio oxige nado por aire a 5 litros/minuto y un pH constante de 7.0 mantenido por adición automática de - NaOH 5N (sistema labroferm). La masa celular de E.coli se colectó al final del período de crecimiento y se almacenó a -20°C hasta su uso, pero no por más de dos semanas.

IV.1 Medidas de actividad enzimática

Las determinaciones enzimáticas de rutina fue ron hechas en la dirección de la formación de la Fru6P (sentido catabólico) en una mezcla de reac ción de 200 microlitros, que contenían amortiguador Tris HC1 75 mM pH 7.7, GlcNAc6P 0.85 mM y cantidades variables del sustrato, GlcN6P. Las reacciones se iniciaron agregando la enzima e incubando a 30°C por un tiempo fijo y parando la reacción agregando 2.0 ml de HCl 10N. La Fru6P se determinó por el método de Roe (17) agregando resorcinol y leyendo a 512 nm, luego de incubar durante 7 minutos a 70°C. Este procedimiento también se usó para hacer la mayor parte de las determinaciones cinéticas, efectuando las correcciones por consumo de sustrato cuando era necesario, de acuerdo al procedimiento de Lee y Wilson (18), pero evitando siempre tener reacciones con grado de avance mayor del 5%. Las velocidades de reacción en esta direc ción también se determinaron espectrofotométricamente por medio de un ensayo acoplado con la enzima glutamato deshidrogenasa, para medir la forma ción del NH3. Comunmente la mezcla de reacción (350 microlitros) contenía amortiguador Tris-HC1 75 mM, pH 7.7, NADH 0.15 mM, alfa-cetoglutarato 12 mM, GlcNAc6P 0.15 mM, concentraciones - variables de GlcN6P y una cantidad de glutamato deshidrogenasa de hígado de bovino que fué estimada como lo proponen Storer y Cornish-Bowden - (19). La desaparición del NADH fué registrada - por medio de un espectrofotómetro registrador - de doble haz, Pye Unicam SP-8-100.

En la dirección biosintética de la reacción, las velocidades se midieron analizando la Glenép formada en un tiempo fijo. Cada mezela de reacción de 200 microlitros contenía amortiguador — Tris-HCl 75 mM, pH 7.7, Glenacép 0.85 mM, y concentraciones variables de los sustratos, Fruép y NH₃ (como NH₄, en solución acuosa ajustada con alcali al pH de la mezela). La reacción se detuvo por inmersión de los tubos en un baño hirviente a 92°C, y la Glenép se midió con una modificación de la reacción de Elson y Morgan descrita por Reissig (20), usando blancos sin enzima para corregir la lectura por la presencia de

GlcNAc6P en la mezcla de reacción. El avance to tal de la reacción siempre se controló y cuando fué necesario se hizo la corrección por grado de avance de acuerdo a la ecuación de Lee y Wilson La unidad de actividad enzimática se defi nió en el sentido catabólico como la cantidad que cataliza la formación de un micromol de Fru6P en un minuto a 30C a pH 7.7 . Se realizó también un método de ensayo espectrofotométrico acoplado en el sentido biosintético de la reacción, basado en el hecho de que la glucosa 6-fos fato deshidrogenasa es capaz de actuar también sobre la GlcN6P, produciendo el 2-desoxi-2-amino derivado del ácido glucosamínico 6-fosfato. El Km para ambos sustratos es semejante, y el ensayo no ofrece dificultades como método de cuantificación enzimática de la GlcN6P. El sistema contiene Fru6P, NH,Cl, NADP, glucosamina 6-fosfa to deshidrogenasa, glucosamina desaminasa y un amortiguador de Tris-HCl pH 7.7; luego se registra la formación de NADPH a 340 nm, en un espectrofotómetro de celdas termostatizadas a 30°C. Sin embargo, su empleo para la medida de la acti vidad enzimática en el sentido biosintético se -

ve obstaculizada por dos problemas. Uno de ellos, es que la Fru6P comercial, adquirida a Sigma Chemical Co., contiene hasta 0.1% de glucosa 6-fosfa to como impureza, y que se trata de un componente muy difícil de eliminar. Otro inconveniente, es que el método sólo resulta aplicable a la enzima en ausencia de su activador alostérico, GlcNAc6P, ya que éste es también sustrato de la glucosamina 6-fosfato deshidrogenasa. El producto formado en este caso, es el ácido 2-desoxi-2-N-acetil amino glucónico 6-fosfato cuya existencia o significación no ha sido reportada.

IV.2 Medida de la concentración de proteínas

Durante los primeros pasos de la purificación se midió la concentración de proteínas por el método turbidimétrico de Bücher (21). También se utilizó el método de Bradford (22) basado en el cambio de color del extracto ácido del azul de comassie G en presencia de proteínas. En los dos casos se utilizó como patrón de referencia a la albúmina de suero de bovino. En el caso de la -

enzima obtenida pura, y luego de establecer su - coeficiente de absortividad, siempre se calculó la concentración en base a su absorción a 275 nm, en amortiguador Tris-HCl pH 7.7 . El coeficiente de absortividad molar usado fué de 8.1×10^4 - (E^{1} 4.55) calculado en base a los datos de - composición de aminoácidos.

IV.3 Electroforesis en gel de poliacrilamida

Las electroforesis en condiciones no desnaturalizantes se efectuaron en placas de gel de policarilamida con gradiente de poro (PAA4/30, Pharmacia) a 10°C en amortiguador Tris-bórico 90 mM ph 8.35 con Na₂EDTA 5 mM, a 125 volts durante 16 horas. Simultáneamente se corrieron varias proteínas de referencia, y las bandas proteícas se detectaron tiñiendo con azul brillante de comassie G (23).

Las electroforesis en condiciones desnaturalizantes se desarrollaron en presencia de dodecil
sulfato de sodio al 0.1% en placas de 18 x 14 x
0.07 cm. usando gel de empaque al 6% y gel de separación al 11.4% y un sistema discontinuo de amor

tiguadores modificado de acuerdo a Laemmli (24). Las placas se tiñieron con azul brillante de coma ssie G o R al 0.2% en solución de ácido acético al 10% e isopropanol al 20% durante 12 a 18 horas. El mismo disolvente se utilizó para desteñir los geles, en presencia de una lámina o trozos de espuma de poliuretano que absorbe el colorante. Esto permite economizar disolvente y evitar los cambios de líquido (25).

IV .4 Electroenfoque analítico en capa fina de Poliacrilamida.

Se corrieron geles al 5% de concentración y al 2.6% de entrecruzamiento con anfolitos de Pharmacia Fine Chemicals, pH 6 - 8 6 3 - Caramallyte), diluidos y usados de acuerdo a las instrucciones del proveedor. Las placas se enfocaron a 25 watts durante 6 horas a 4°C, luego se fijaron y tiñieron de acuerdo al método de Malik y col. - (26), o con métodos convencionales con azul bri - llante de comassie G. También se realizó electroenfoque analítico en placas delgadas de poliacril

^{* %} de concentración = acrilamida + metilenbis acrilamida

[%] de entecruzamiento = metilenbis / % de concentración

amida (pH 6-8) en presencia de urea 6M y tritón X-100 al 2% bajo las mismas condiciones de corrida.

IV .5 Ultracentrifugación

Las ultracentrifugaciones en gradiente de densidad de sacarosa se hicieron como lo describen Martin y Ames (27), a 290 000 x g y 5°C en amortiguador Tris-HCl 50 mM, pH 7.7 usando un ro
tor Beckman SW-50 a 50 000 revoluciones por minu
to durante diez horas en tubos de nitrato de celulosa de 5.0 ml. de capacidad. El contenido de
los tubos se analizó colectando fracciones despuês de perforarle el fondo.

También se hicieron centrifugaciones en gradiente de densidad en presencia de monômeros de poliacrilamida, un procedimiento modificado (28), basado en una idea de Jolley y col. (29). En esta técnica se polimeriza por fotocatálisis des pués de realizar la centrifugación y el gel se colorea por los métodos señalados para proteínas. Para calcular el coeficiente de sedimentación y

el peso molecular se utilizaron como referencia las siguientes proteínas: hemoglobina humana, aldolasa de músculo de conejo y catalasa de eritrocitos humanos. Los resultados se graficaron de acuerdo al procedimiento descrito por Calcagno y Rendón (30), para calcular el peso molecular.

IV .6 Cromatografía analítica de filtración en gel

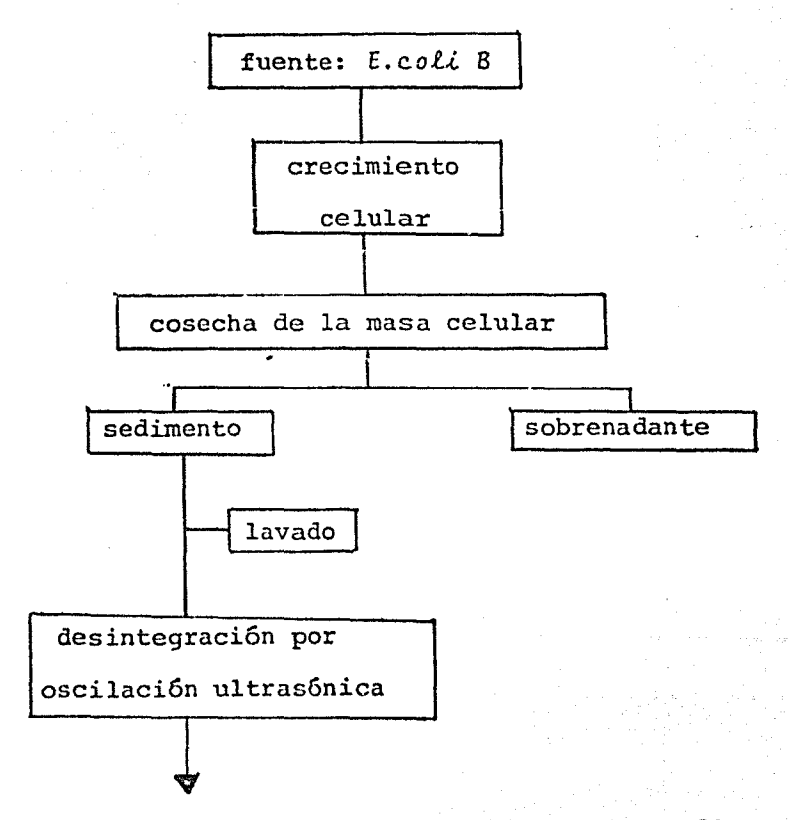
El peso molecular aparente de la glucosamina 6-fosfato isomerasa de E.coli se estimó a partir de su volumen de elución en una columna calibrada de Ultrogel AcA 34. El tamaño de la columna fué de 1.6 x 100 cm. y el gel fué equilibrado con amortiguador Tris-HCl 75 mM, pH 7.7 a 4°C. Las proteínas que se usaron.como referencia fueron la mioglobina de caballo, la hemoglobina humana, la aldolasa de músculo de conejo y la catalasa de hígado de bovino. Los perfiles de elución se determinaron registrando la absorbancia del eluido a 280 nm.

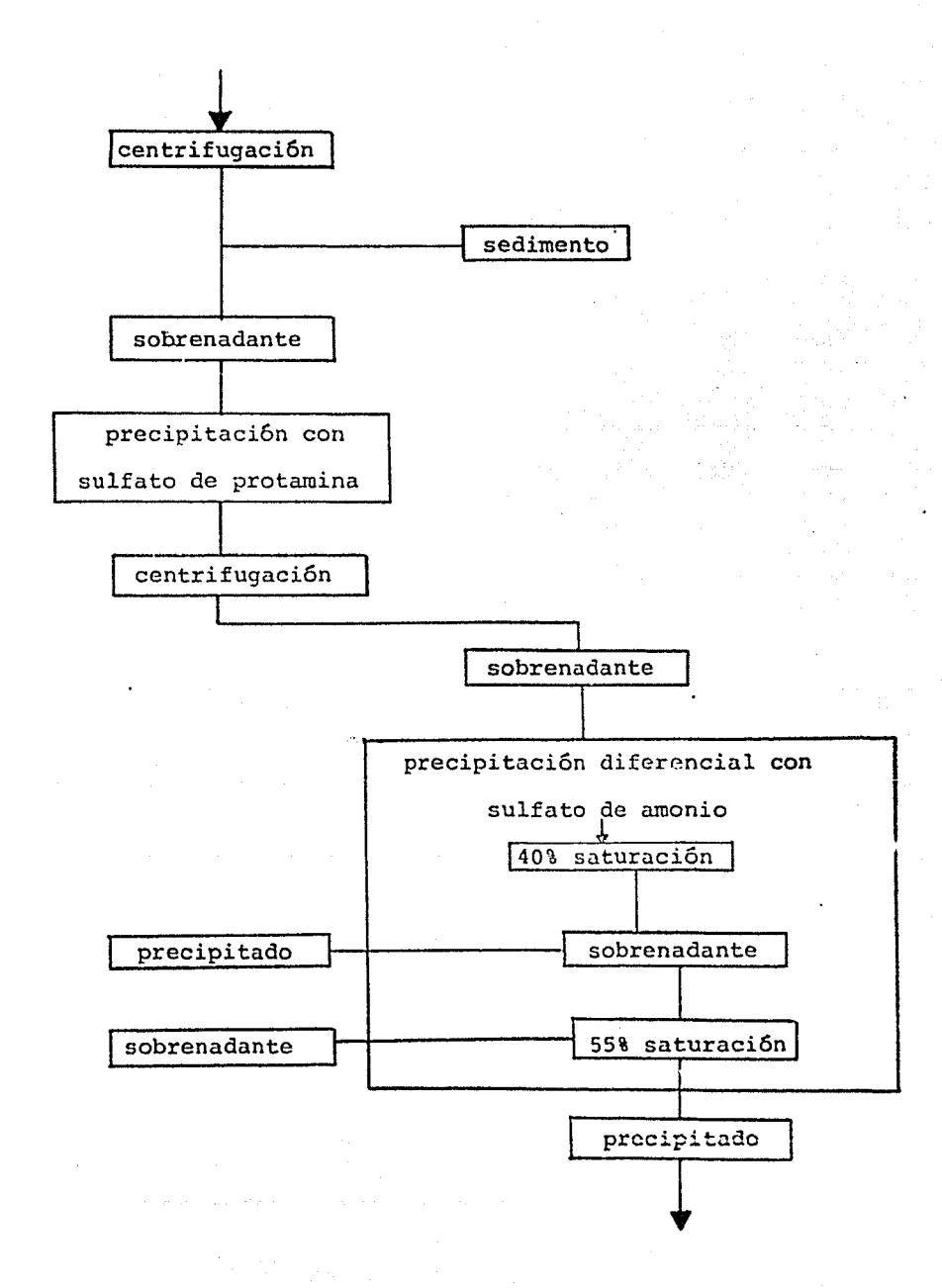
IV.7 Análisis de aminoácidos

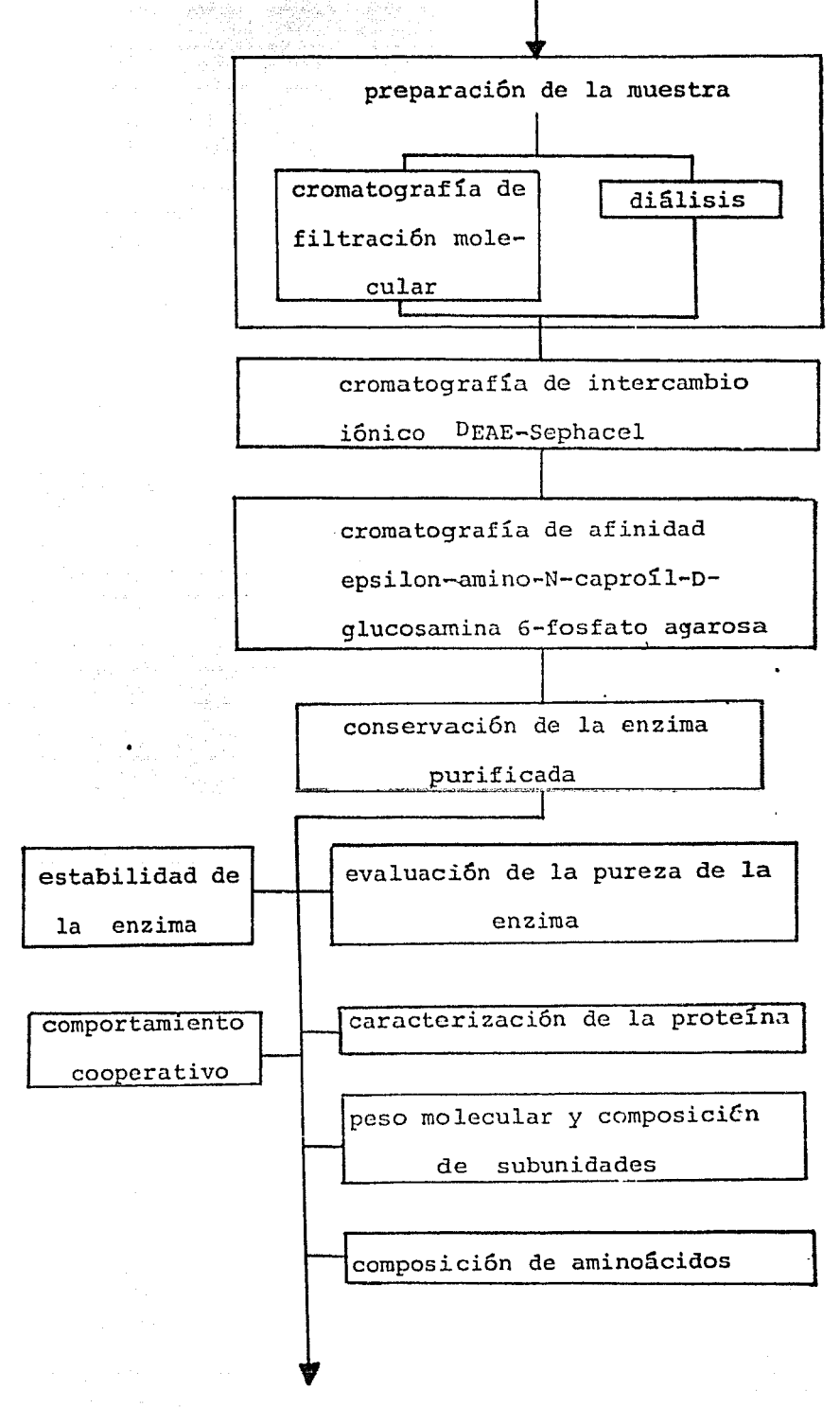
Todos los análisis de aminoácidos fueron rea lizados por el Dr.Guillermo Ramírez de la Unidad de Análisis y Secuenciación de Proteínas en el Instituto de Investigaciones Biomédicas, UNAM. Las muestras de proteínas se hidrolizaron a 110°C en una solución de HCl 5.7N (mezcla de punto de ebullición constante), durante 24, 48 y 90 horas. Los aminoácidos se cuantificaron por medio de un analizador de aminoácidos Durrum D-500. La cisteina y media cistina se determinaron como ácido cisteico a partir de las muestras de proteína previamente oxidadas con ácido perfórmico (31) hidrolizando en HCl 5.6N durante 20 horas a 110°C. Los valores de treonina y serina se corrigieron por extrapolación a tiempo cero y el resto de los aminoácidos se calcularon en base a su valor medio. El análisis del triptófano fué hecho por hidrólisis de la enzima en ácido metanosulfónico 4.0N con 0.02% de 3-(2-aminoetil) indol (32). El ácido perfórmico se preparó en el momento de uso mezclando 0.5 ml. de H_2O_2 (30 vol.) con 9.5 ml. de ácido fórmico al 29% y se incubó a 25°C

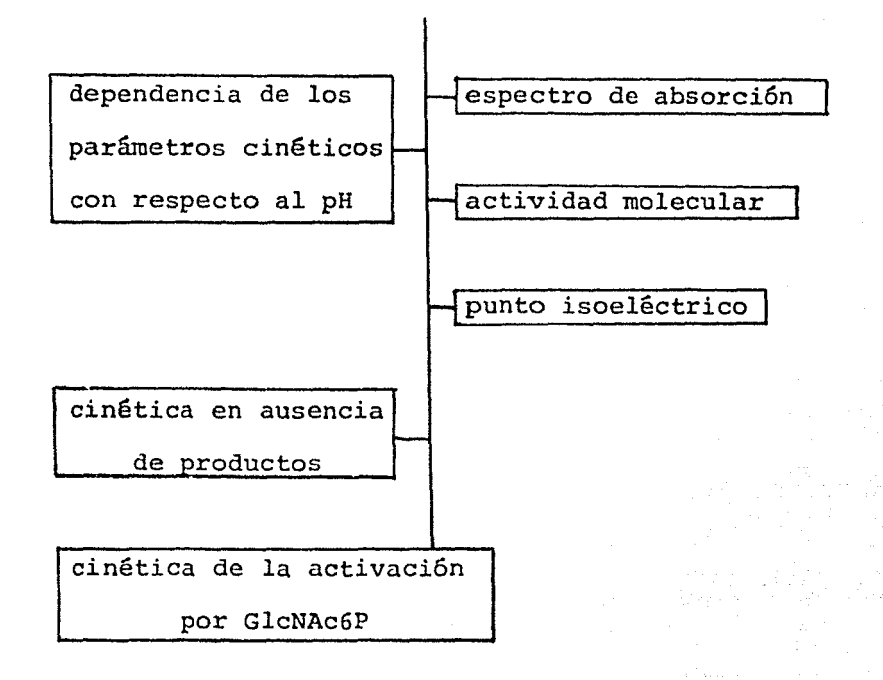
antes de su uso. También se calculó la concentración de triptófano en la proteína sin hidrolizar en NaOH 0.1 N mediante el método de Goodwin y Morton (33).

IV.8 Diagrama del Proceso de Purificación y Caracterización de la Glucosamina 6-fosfato isomerasa (desaminasa) de E.coli









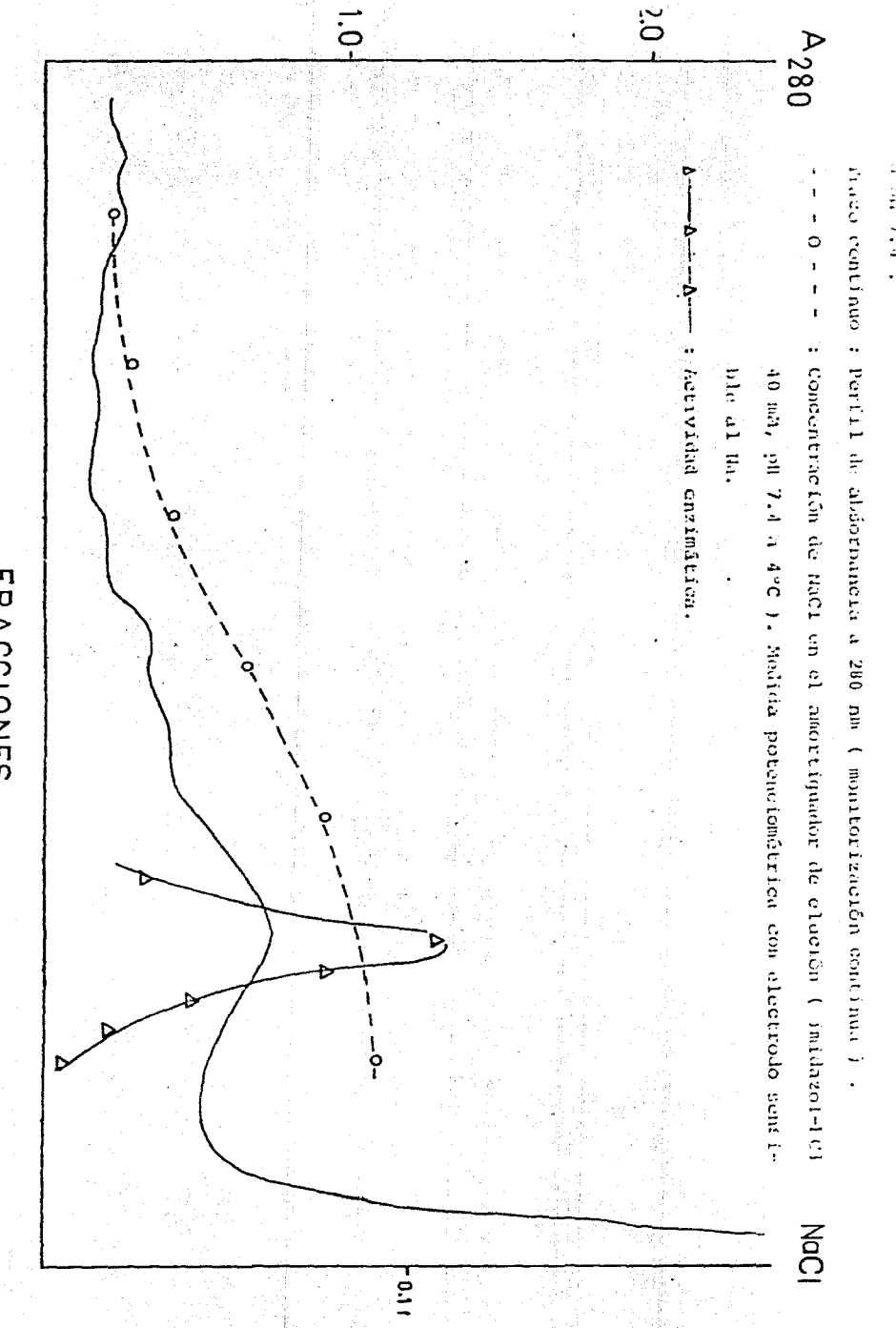
V.1 Purificación de la enzima

La enzima se purificô por el siguiente procedimiento efectuando todas las operaciones a una temperatura constante de 4°C. Las células bacterianas centrifugadas (150 - 250 g. de peso húmedo en una preparación típica) se lavaron dos veces con KCl 0.15 M, y se desintegraron por oscilación ultrasónica con tres volúmenes de amortiguador fos fato de potasio 50 mM pH 7.0. Luego el extracto fué centrifugado a 48 000 x g. durante una hora, y el sedimento se sometió a un nuevo ciclo de rotura y centrifugación. A los sobrenadantes recogidos, se les agregó una solución de sulfato de protamina 0.5% bajo agitación suave, en una proporción de -0.3 mg. de sulfato de protamina por mg. de proteí-Después de 15 minutos se centrifugó el precipitado formado (48 000 x g. durante una hora), el sobrenadante se ajustó a un pH de 7.0 con una solución de NH,OH 5N y se agregaron 225 mg/ml de sulfato de amonio (equivalente a 40% de saturación a 4°C) el precipitado se recogió por centrifugación (25 000 x q. durante 5 minutos) al sobrenadante decantado se le agregaron 89 mg/ml de sulfato de amonio y el precipitado que contiene la enzima se recogió por centrifugación para después disolverlo en un volumen mínimo de amortiqua dor de imidazol-HCl 50 mM, pH 7.4 a 4°C. El sulfato de amonio se eliminó por cromatografía de filtración molecular en una columna de Sephadex G-25 equilibrada con el mismo amortiguador y de esta manera preparar la muestra para la cromatografía de intercambio iónico. En algunas preparaciones esta etapa se sustituyó con una diálisis de 6 horas" (con un cambio de medio de diálisis a las 3 horas) contra 50 a 70 volúmenes de amortiquador de imidazol-HCl, bajo agitación a 4°C en una membrana de diálisis Spectrapor 4, con un cor te a los 10 000 daltones de peso molecular. La muestra se aplicó en una columna de DEAE Sephacel equilibrada con el mismo amortiguador de imidazol. La elución se llevó a cabo con un gradiente convexo, formado con una bomba peristáltica de tres canales (Pharmacia modelo P-3), de acuerdo al método de Lakshmanan y col. (34), de 0 a 0.25 M, manteniendo constante la concentración del amorti

guador. De esta manera la enzima sale como un solo pico cuando la concentración de NaCl es de 0.095 - 0.10 M (figura c)Las fracciones eluidas que tenían una actividad enzimática especifica mayor de 20 - 25 unidades mg de proteína, se recogieron para agregarles 0.45 mg/ml de sulfato de amonio y de esta manera concentrar las proteínas por precipitación. Luego el precipitado se disolvió en un volumen mínimo de amoriguador Tris-HCl 0.1 M pH 7.25.

La solución se aplicó en una pequeña columnade un ml preparada con la matriz de afinidad de epsilon-amino-N-caproíl-D-glucosamina 6-fosfato agarosa, contenida en una jeringa desechable del tipo para in sulina. La matriz de afinidad se usó en una proporción de un ml de gel por cada 10 mg de enzima pura. La columna se lavó con el amortiguador, y la enzima fué eluida con una solución de GlcNAc6P 1.0 mM preparada en el mismo amortiguador. La enzima sale como un solo pico pronunciado, con una actividad específica constante de 800 - 900 unidades por mg de proteína. Se juntaron las fracciones que contenían la enzima y se diluyeron con un volumen de glicerol y luego se almacenaron a - 20°C.

Comparada con el extracto inicial, la enzima --



Parritametón de la glucosamina de mainasa. Paso IV : cromatografía en Diemensenhaced

FRACCIONES

se purificó 1090 veces, con un rendimiento promedio de casi 50%. Se obtuvieron aproximadamente 12 mg de enzima pura a partir de 100 g. peso húmedo de células de E. coli. En la tabla I se presenta un resumen de los pasos de purificación.

V. 2. Pureza de la enzima

Después de efectuar la electroforesis en gel de poliacrilamida en presencia de dodecilsulfato de sodio 0.1 %, la preparación enzimática reveló una sola banda. En la figura d, se muestran las electroferesis realizadas con este método para todas las etapas de la purificación. De igual manera la electoforesis en gel de gradiente de poro (4-30%) mostró una sola banda y lo mismo sucedió en la sedimentación en la ultracentrífuga en presencia de monómeros de poliacrial lamida que fueron polimerizados y posteriormente teñidos.

Todas las fracciones que corresponden al pico - obtenido en la columna de cromatografía de ultrogel-AcA 34 presentaron una actividad específica constante y el pico fué simétrico. Las fracciones de elución colectadas después de perforar los tubos de centrífu ga en los experimentos de sedimentación en gradiente de sacarosa, también muestran un solo pico con acti-

TABLA 1

ESQUEMA DE LA PURIFICACION DE LA GLUCOSAMINA 6-FOSFATO ISOMERASA (DESAMINASA) DE ESCHERICHIA COLI B (100 g de biomasa).

PROCEDIMIENTO	VOLUMEN ml	PROTEINA mg/ml	UNIDADES TOTALES	ACTIVIDAD ESPECIFICA	RENDIMIENTO	PURIFICACION No.VECES
EXTRACTO INICIAL	315	21.0	3.55×10 ³	0.56	100	., 1
SULFATO DE PROTAMINA	350	6.25	3.41x10 ³	1.74	96	3.1
SULFATO DE AMONIO 40 - 55 % Saturación	18.5	21.0	3.08×10 ³	8.25	1950 - 185 1860 - 1860 - 1860 - 1860 - 1860 - 1860 - 1860 - 1860 - 1860 - 1860 - 1860 - 1860 - 1860 - 1860 - 1860 - 1860 1860 - 1860 - 1860 - 1860 - 1860 - 1860 - 1860 - 1860 - 1860 - 1860 - 1860 - 1860 - 1860 - 1860 - 1860 - 1860	14.9
DEAD-SEPHACEL	4.0	5.3	1.96×10 ³	93.3	55,2	166.
N-aminocaprofl- Glucosamina-6-P agarosa	0,5	5.8	1.76x10 ³	610,0	49,6	1090.

UNIDAD; u moles de Fru6P formadas a partir de la GlcN6P, a 30°C, pH 7.7 (V max)

EXTRACTO INICIAL

SULFATO DE PROTAMINA

SULFATO DE AMONIO 40 a 55 % Saturación

DEAE Sephacel

N-epsilon-aminocaprofl Glucosamina -P agarosa

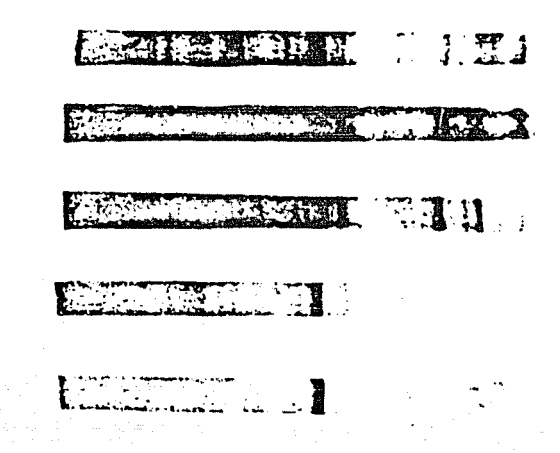


Figura d . Electroforesis en poliacrilamida en presencia de dodecilsulfato de sodio de las diferentes etapas de la purificación de la enzima,

vidad específica constante. También se encuentra - una única banda en electroenfoque en gel de poliacrilamida al 6% (pH 3-9 y pH 5-8) y en electroenfoque de pH 3 a 9 en geles que contenían urea 6M y -- tritón X-100 2%.

V. 3 Estabilidad de la enzima

La enzima purificada se almacenó a - 20°C en - amortiguador Tris-HCl 0.05 M a pH 7.25, NaCl 0.05 M, GlcNAc6P y glicerol a 50% (volumen/volumen); en estas condiciones la enzima se mantuvo estable durante varios meses. En cambio si la enzima se mantiene en el mismo pH pero precipitada en sulfato de amonio - al 50%, la estabilidad es menor y la actividad enzimática se pierde gradualmente. Por otra parte en la electroforesis en gel de gradiente de poro y en la cromatografía de exclusión molecular, la enzima yano mostraba la misma homogeneidad que en las condiciones de almacenamiento anteriormente descritas.

V. 4. Peso molecular v composición de subunidades Se obtuvo un peso molecular por subunidad de 29000 Dalton (+ 300 error estándar) a partir de la electroforesis en gel desnaturalizante con dodecilsul fato de sodio. Con este procedimiento se observó una sola banda lo que indica que aparentemente lassubunidades tienen un peso molecular igual o muy se mejante (figura e). Empleando la técnica de electro foresis en gel con gradiente de poro se encontró -un peso molecular estimado en 190 000 + 2 500 (figu ra f). Mediante cromatografía de filtración molecular en ultrogel AcA 34 fué de 185 000 (figura g). -En la ultracentrifugación con gradiente de sacarosa la enzima muestra un coeficiente de sedimentación de 9.55 + 0.5, este valor fué calculado usando comopatrones de referencia internos a la homoglobina, la aldolasa y la catalasa (figura h e i). Empleando este valor y de acuerdo a el criterio de Martín y -Ames (27) el peso molecular asignado a la proteínapor este procedimiento es de 190 000. Cuando los re sultados de la ultracentrifugación se analizan de acuerdo al gráfico propuesto por Calcagno y Rendón (30) se obtiene un peso molecular de 175 000 Daltones

(figura j).

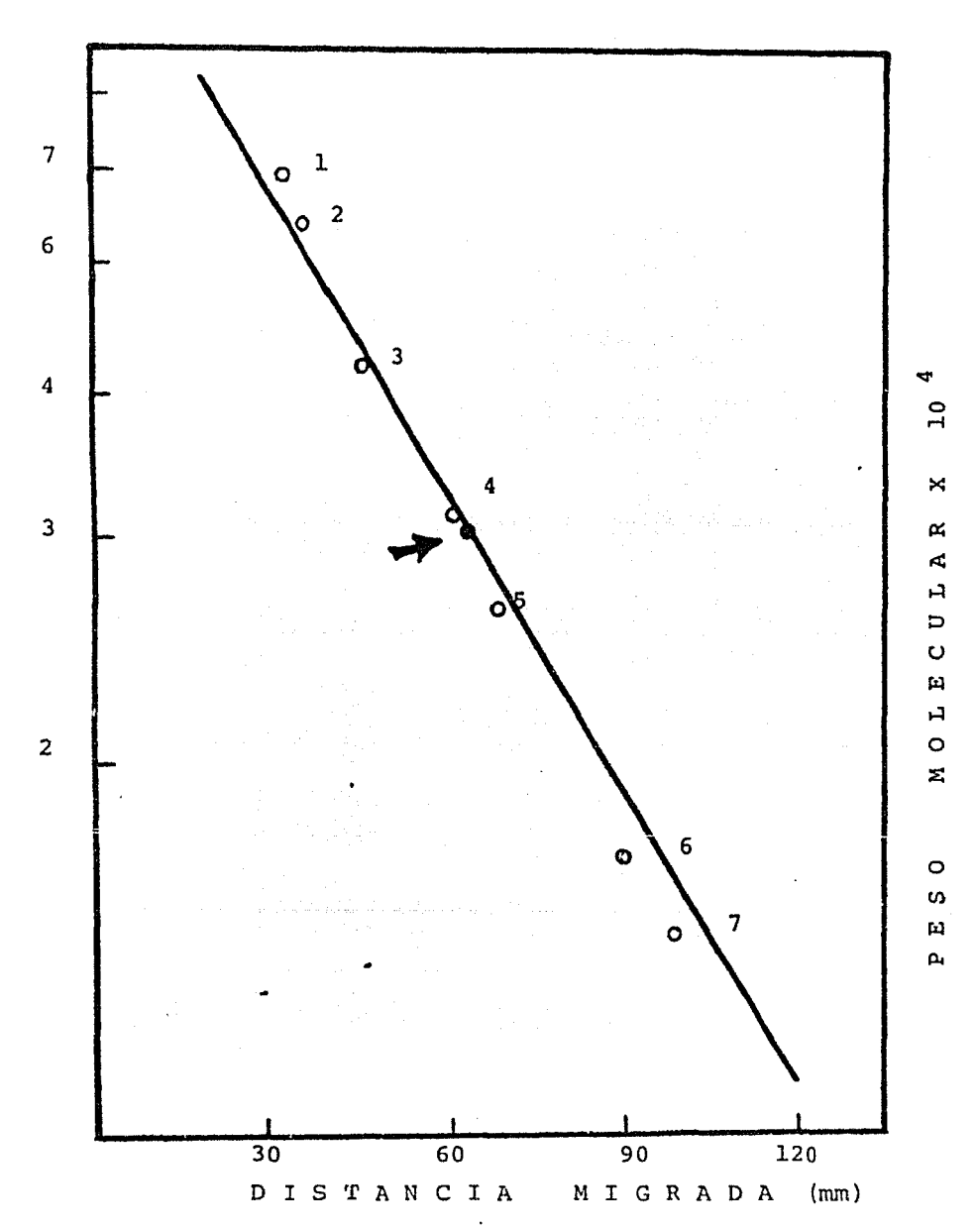


Figura e. Peso molecular de las cadenas polipeptídicas de la enzima determinado por lectroforesis en poliacrilamida en - presencia de dodecil sulfato de sodio. La flecha indica la distancia migrada y el peso molecular estimado.

Patrones de calibración; 1. Albúmina de suero bovino, 2. Catalasa de hígado de bovino, 3. Ovoalbúmina, 4. Anhidrasa carbónica de eritrocito, 5. Quimitripsinógeno de cerdo, 6. Mioglobina de mús - culo de caballo y 7. Citocromo C de músculo de caballo .

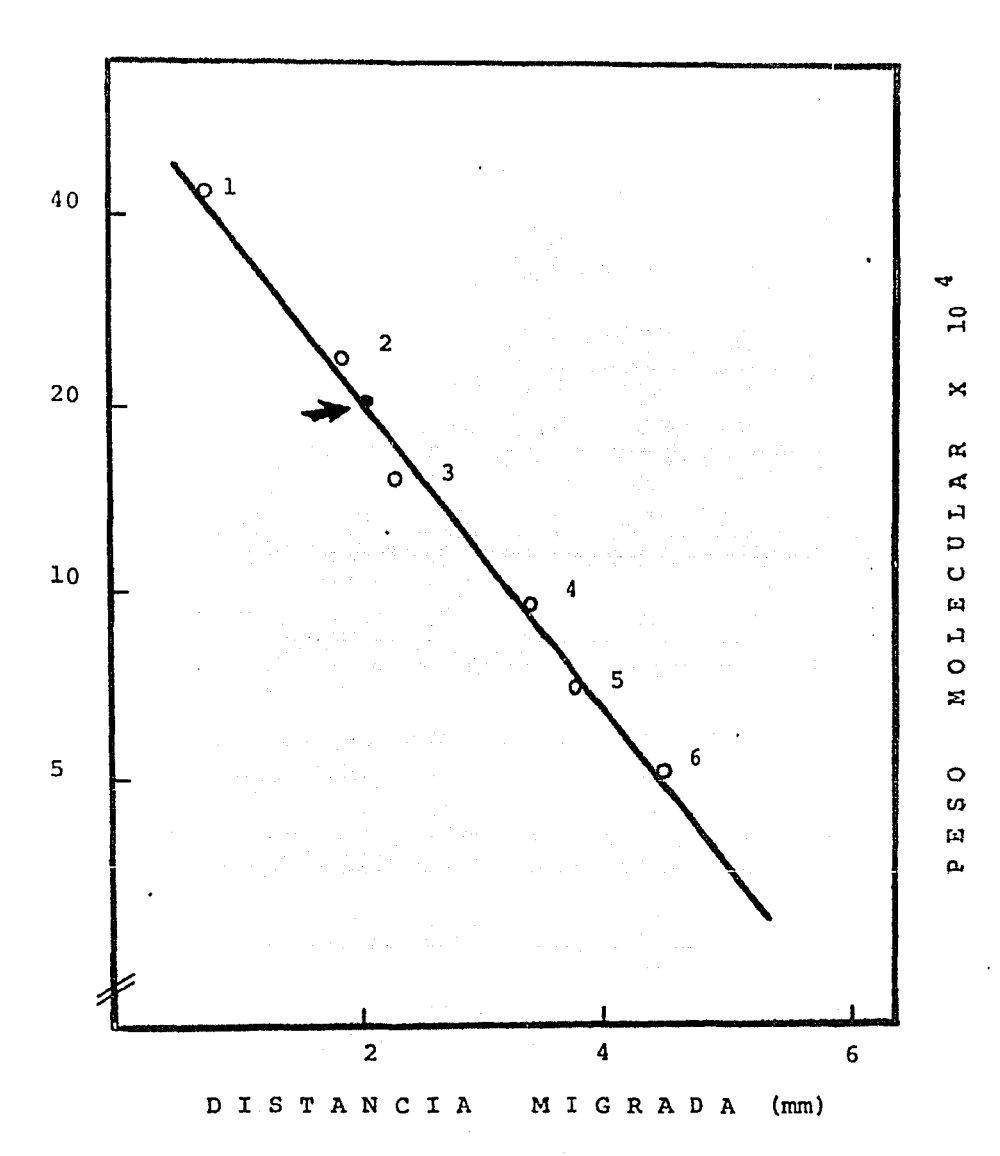
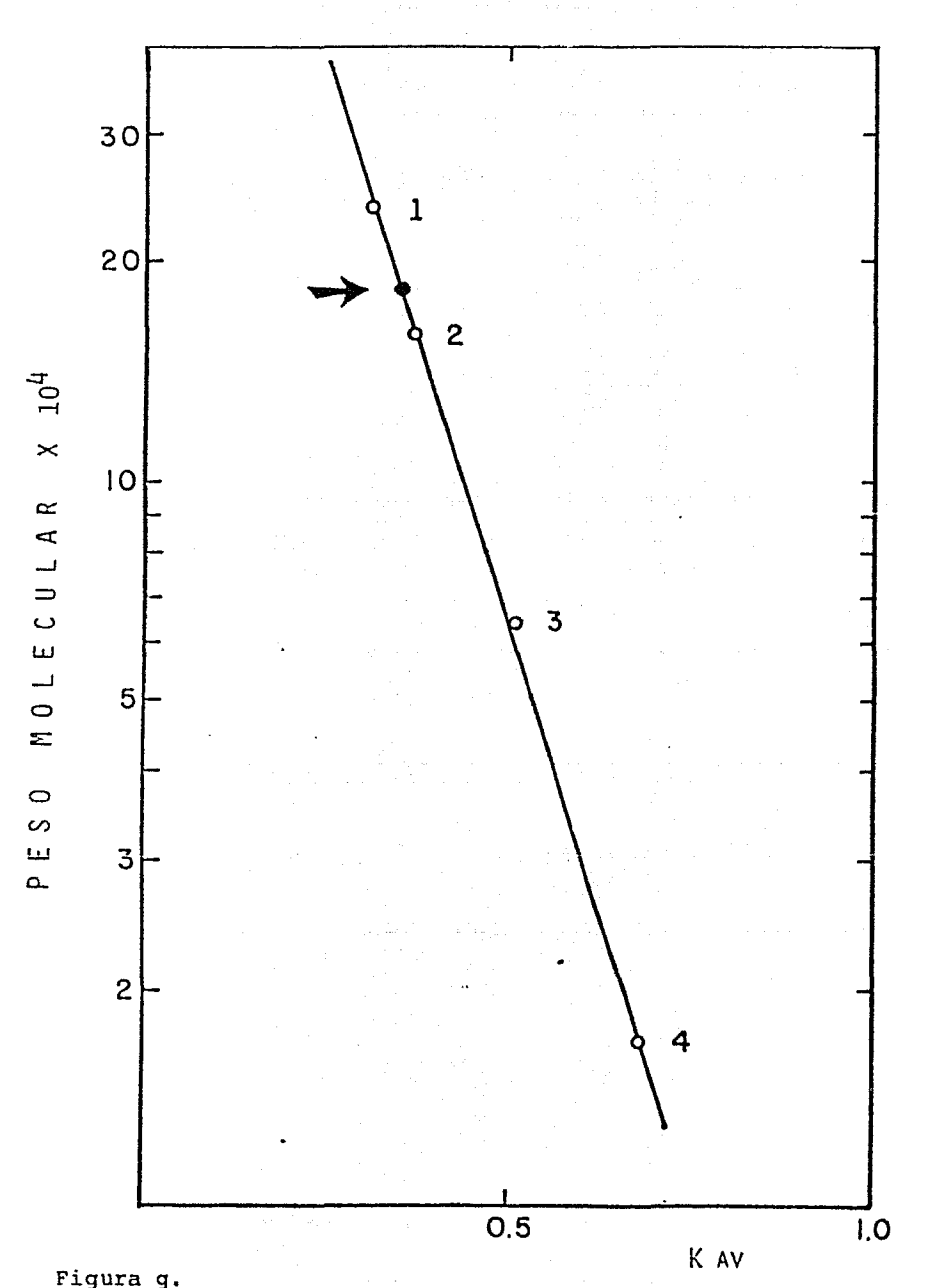


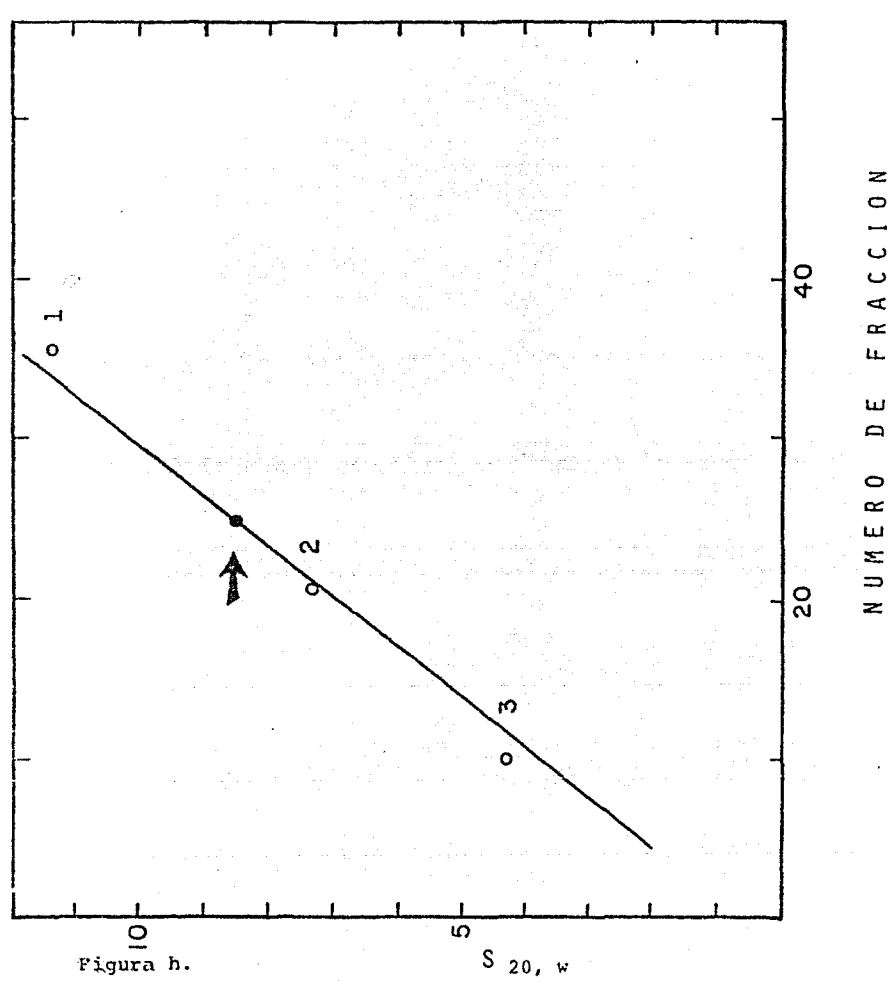
Figura f. Peso Molecular de la enzima mediante gradiente de poro. La flecha indica la distancia migrada y el peso molecular correspondiente.

Patrones de calibración: 1. Ferritina de bazo de bovino, 2. Catalasa de hígado de bovino, 3. Dímæro de albúmina de suero de bovino, 4. Glutatión reductasa de Spinulina maxima (dímero), 5. Albúmina de suero de bovino (monomero) y 6. Ovoalbúmina.



Cromatografía de la $GlCNH_26P$ desaminasa en una columna de ultrogel AcA 34, en Tris-HCl 75 mM, pH 7.75 a 4°C. Columna de 1.6 x 100 cm eluida a un flujo contante de 4.0 cm h^{-1} . La flecha indica el valor de Kav y el peso molecular estimado para la enzima.

Patrones de referencia : 1 - Catalasa, 2 - Fructosa 1,6 di-fosfato aldolasa de músculo de conejo, 3 - hemoglobina humana y 4 - Mioglobina .



. Sedimentación por ultracentrifugación de la desaminasa a 290 000 x g, a 5°C, durante diez horas. La flecha indica la fracción en que se localizó la actividad de la enzima, y el correspondiente valor de S_{20,w} estimado.

Patrones de calibración : 1 - Catalasa, 2 - Aldolasa, 3 - Hemoglobina .

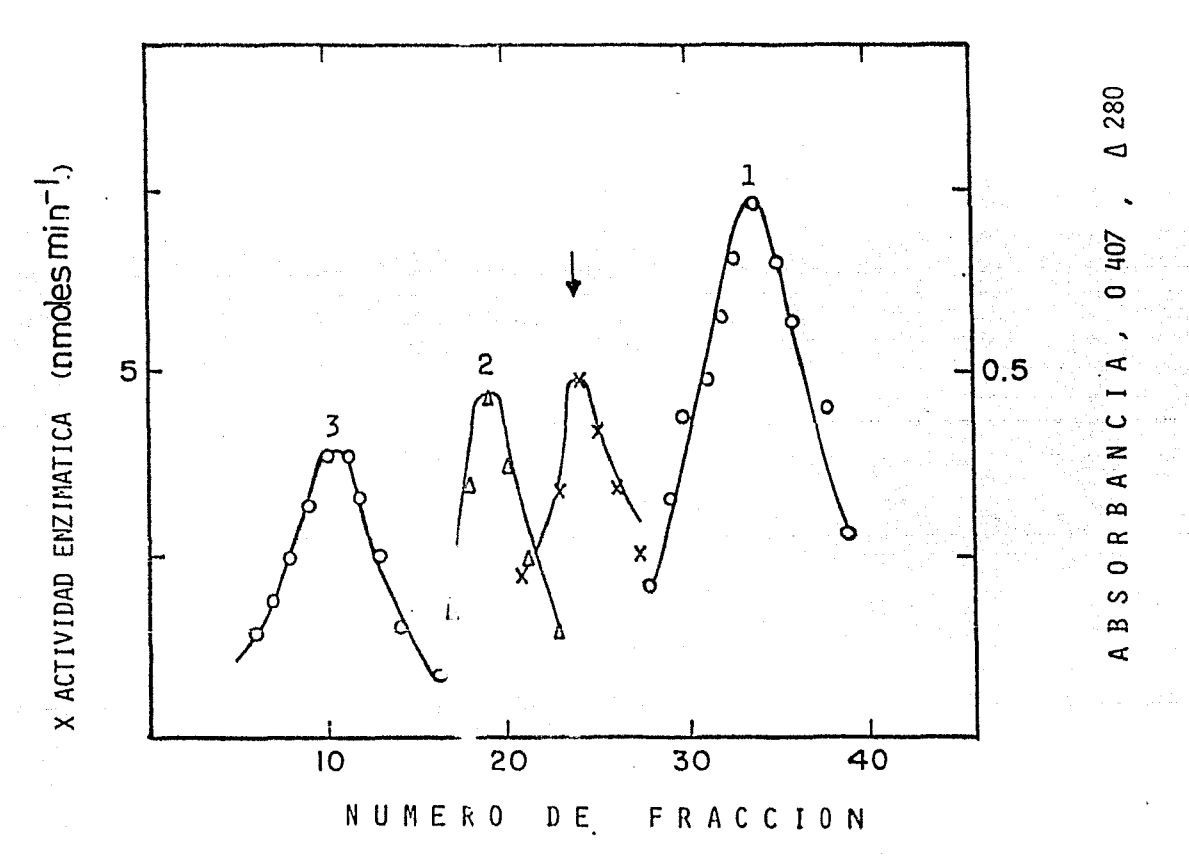


Figura i . Sedimentación de la glucosamina 6-fosfato desaminasa y patrones de calibración. Técnica de Martin y Ames (26). Perfiles de concentración de las proteínas de referencia (1 al 3) y actividad de la enzima.

Los números tienen el mismo significado que en la figura h.

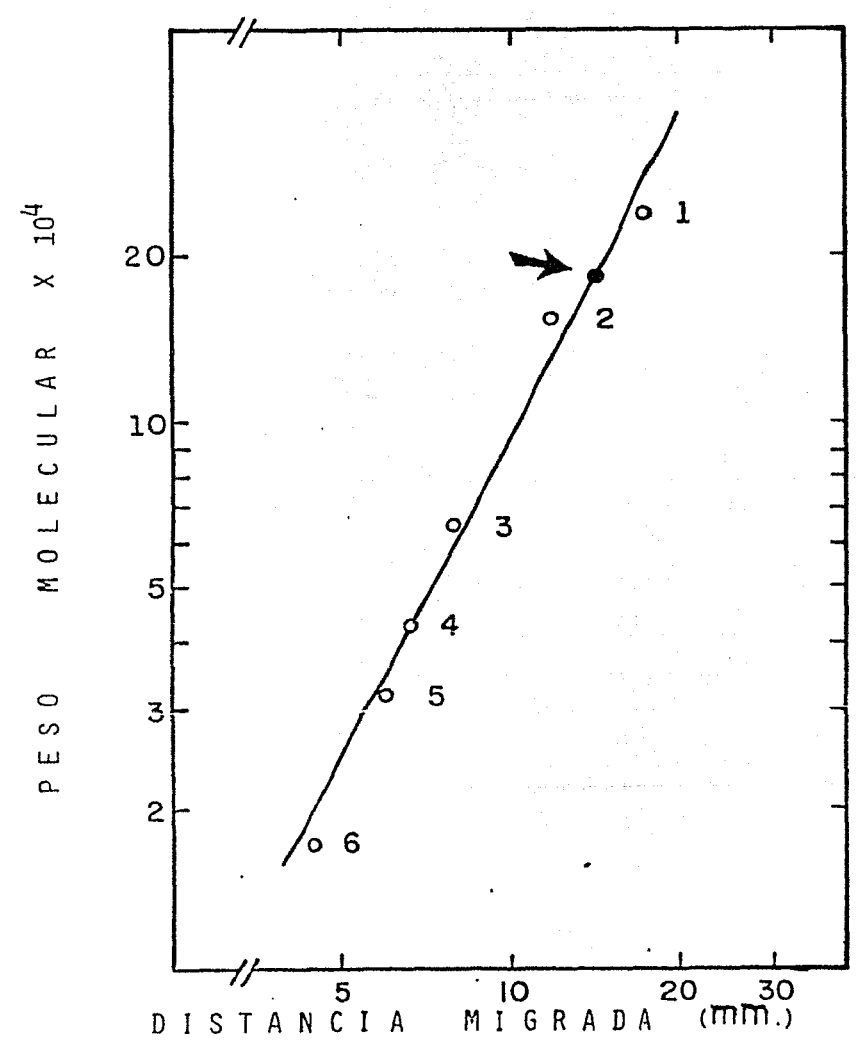


Figura j.
Estimación del peso molecular de la glucosamina 6-fosfato desaminasa mediante ultracentrifugación en gradiente de sacarosa en presencia de monomeros de poliacrilamida, seguida de polimerización y tinción. La flecha indica la distancia recorrida por la enzima y el corres - pondiente peso molecular estimado.

Patrones de referencia : 1 - Catalasa, 2 - Aldolasa, 3 - Albumina de suero de bovino, 4 - Ovoalbúmina, 5 - lactoglobulina bovina , 6 - mioglobina de caballo

V. 5. Composición de aminoácidos

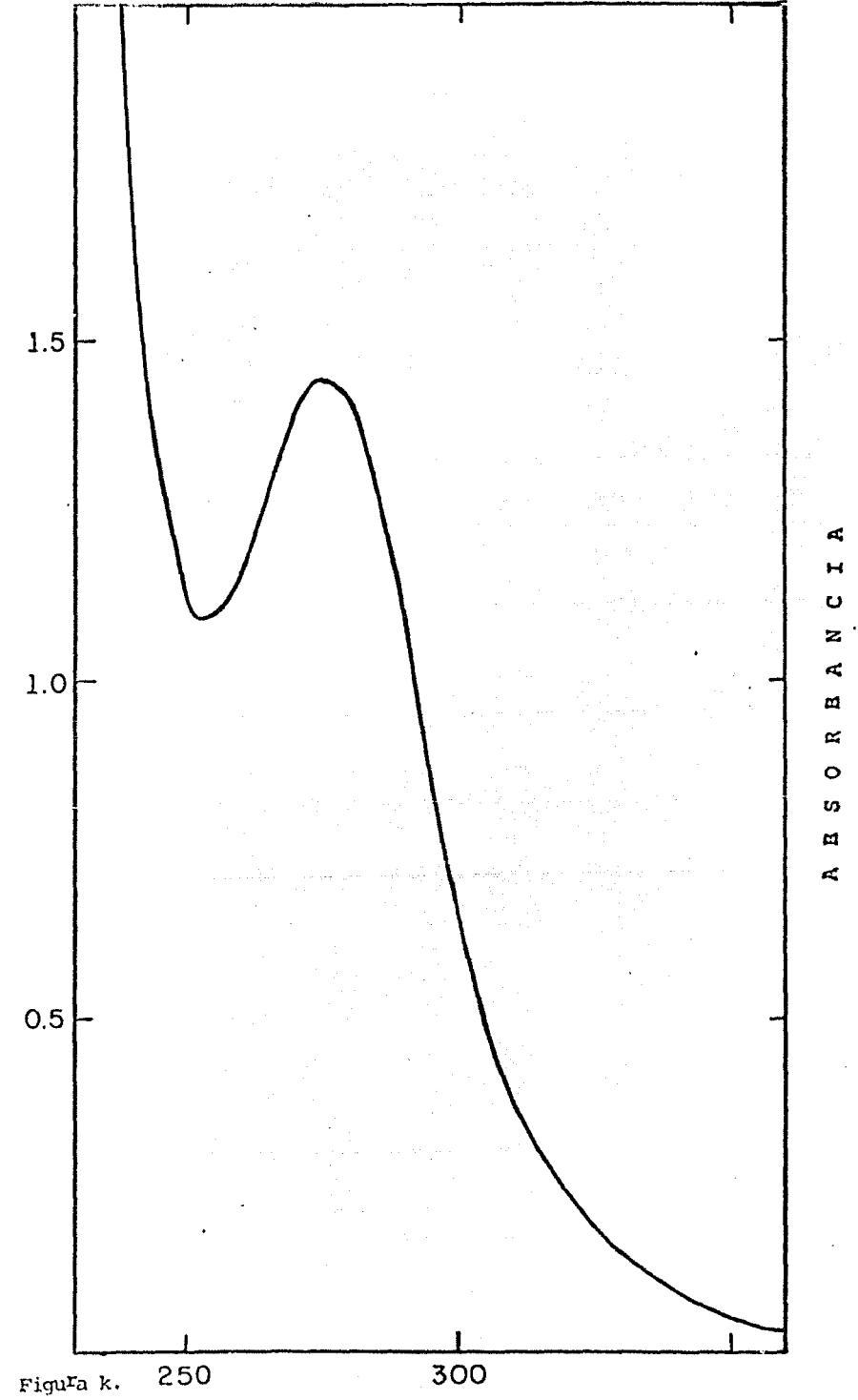
La composición de aminoácidos de la glucosamina 6-fosfato desaminasa se muestra en la tabla II A partir de este resultado y de acuerdo al método y datos publicados por McMeekin y col. (35) se calculó un volumen parcial específico de 0.741 ml/g para esta enzima. El peso molecular mínimo calculado por composición de aminoácidos fué de 9872, lo que corresponde a un peso molecular por subunidad de --- 29-406 Daltones.

V. 6. Espectro de Absorción

En la figura k se muestra el espectro de absorción en el ultravioleta medio de la enzima en solución a pH 7.7. En base a la masa obtenida a partir del - análisis de aminoácidos se calculó un coeficiente de absorbancia (275 nm), suponiendo un peso molecularde 178 000 daltones.

Aminoácido	Residuos por unidad
Asx	27
Thr	15
Ser	10
Glx	24
Pro	9 - 1 - 1 - 1 - 1 - 1 - 1 - 1 - 1 - 1 -
Gly	18 18 1 18 1 18 1 1 1 1 1 1 1 1 1 1 1 1
Ala	21
Cysteic Acid	
Val	20
Met	
Ile	12 12 12 12 13 14 15 15 15 15 15 15 15 15 15 15 15 15 15
Leu	24
Tyr	8 · 1
Phe	12
His	12
Lys	15
Arg	11
Trp	6 10 10 10 10 10 10 10 10 10 10 10 10 10

TABLA II. COMPOSICION DE AMINOACIDOS DE LA GLUCOSAMINA 6-FOSFATO ISOMERASA (DESAMINASA).



Z Z

B

~

0

လ အ

Ø.

de doble haz.

Espectro de absorción en el ultravioleta de la GlcNH₂6P desaminasa, en Tris-HCl 40 mM a pH 7.7 . Registrado con un espectrofotómetro

V. 7. Punto isoeléctrico

Empleando el enfoque isoeléctrico analítico - en placas delgadas de gel de poliacrilamida en un - intervalo de pH de 4 a 6, se encontró que el pH en- el punto isoeléctrico de la enzima fué de 6.0 (figura 1). Cuando el enfoque isoeléctrico se realizó en gel de poliacrilamida en un pH de 3 a 9 en - presencia de urea 6M y Tritón X-100 se confirmó - el anterior resultado.

V. 8. Actividad molecular

La actividad molecular de la enzima se midió tanto en el sentido catabólico como en el sentido biosintético de la reacción siempre con GLon Ac6P -1.85 mM a pH 7.7. En ambos casos los resultados se
obtubieron extrapolando los resultados cinéticos a
concentración infinita de los sustratos, por otro lado la concentración de la enzima se estableció mediante su absorbancia a 275 mm. De esta manera los
valores formados fueron 44.2 seg - 1 en la dirección
catabólica de la reacción y de 4.25 seg - 1 en la -

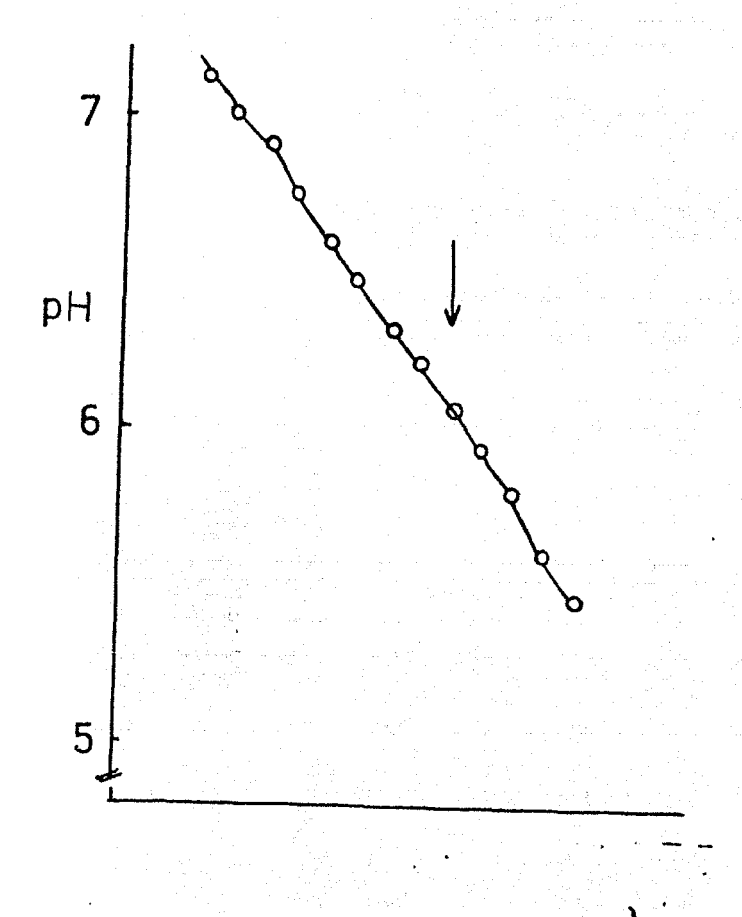


Figura 1 . Enfoque isoeléctrico en gel de po - liacrilamida al 6 % en anfolitos pH 5 - 8 . La fecha indica la posición de la banda de proteína. Los puntos corresponden a medidas de pH realizadas a distancias regulares (cada 5 mm) so bre el gel .

V. 9. Comportamiento cooperativo

Los estudios cinéticos se hicieron en ambas direcciónes de la reacción. Cuando se estudiaron las velocidades en la dirección catabólica como una función de la GlcN6P, se encontró que la enzima mostraba una intensa cooperatividad (figura m). El grado de cooperatividad se midió por medio del valor extre mo del número de Hill (h), de acuerdo a Wyman (36). De esta manera se observó que el fenómeno de coopera tividad depende fuertemente del pH, como se muestraen la figura n. La cooperatividad resulta máxima enel intervalo de pH de 7.5 a 8.0 a 30°C (Tris-HCl), con un número de Hill cercano a 3.0. El valor de - -S_{0.5} en estas condiciones es de aproximadamente 15 mM (recuadro de la figura m), el valor de la constan te K' en la ecuación de Hill $\frac{v}{v_m} = \frac{s^n}{K' + s^n}$ le entonces a $S_{0.5}^{n} = (15 \times 10_{M}^{-3})^{3}$

En la dirección biosintética de la reacción - - también se presenta una cinética con cooperatividad -

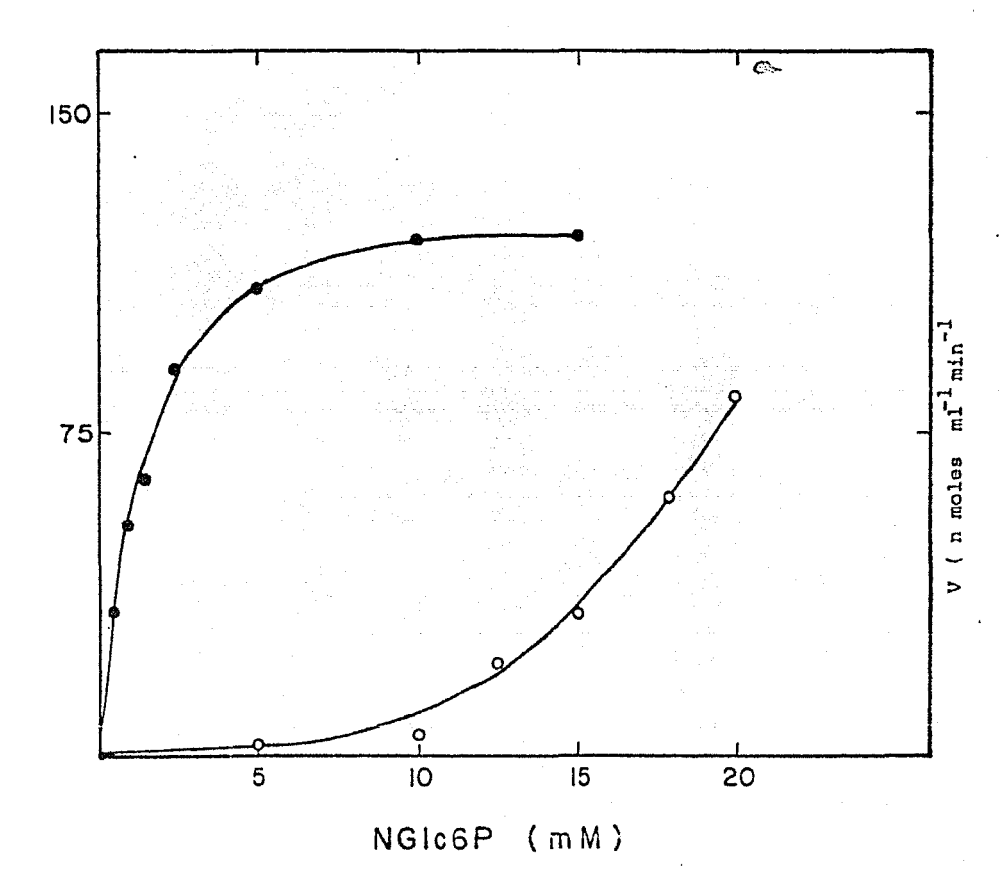


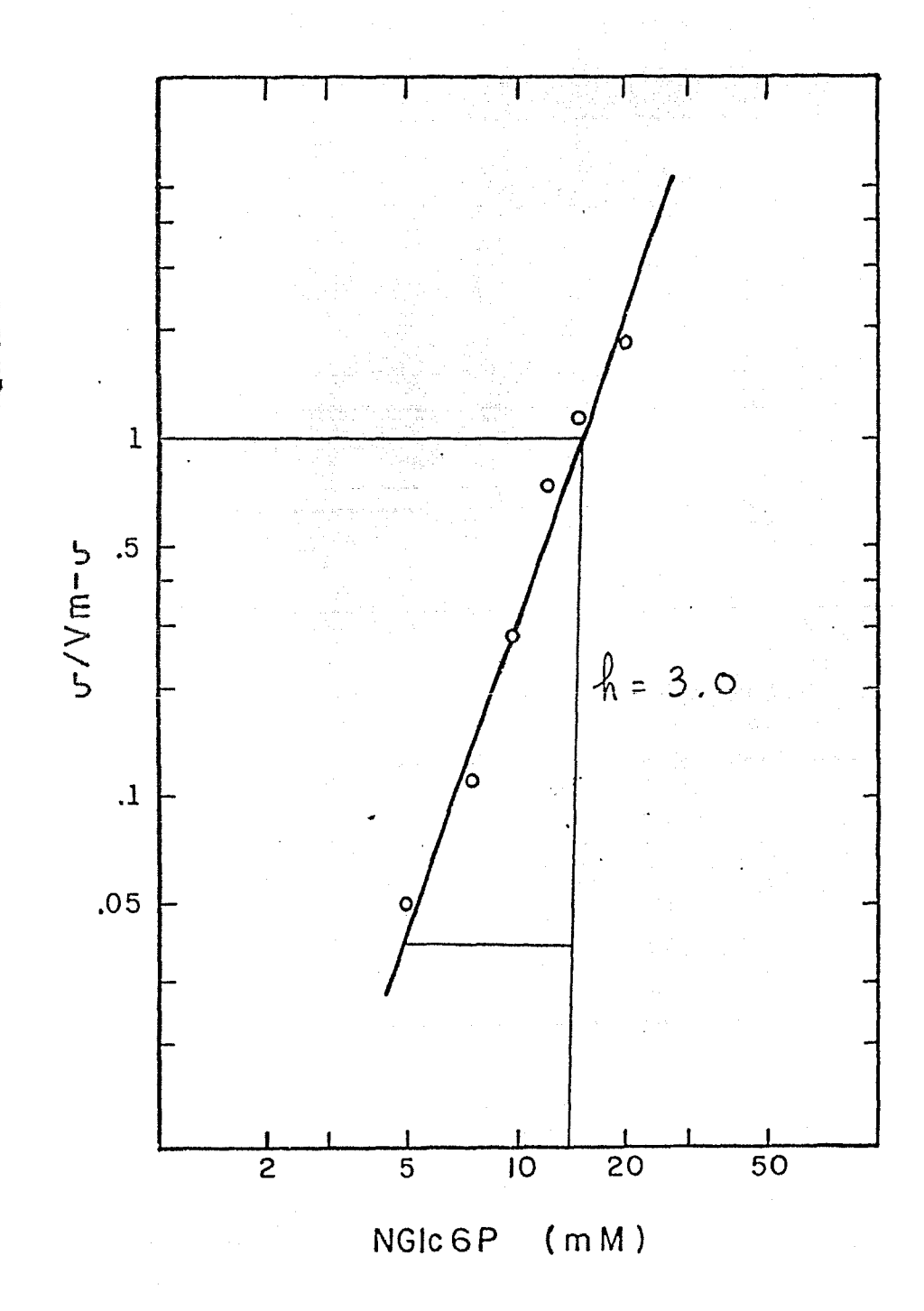
Figura m .

Velocidad inicial de reacción en función de la concentración de glucosamina (sentido catabólico de la reacción).

___O___ En ausencia de activador.

En presencia de GlcNAc6P mM (nH 7.7, 30°C).

Recuadro : Gráfico de Hill de los mismos resultados. La velocidad má - xima utilizada para este gráfico se tomó de la curva correspondiente al experimento en presencía de activador.



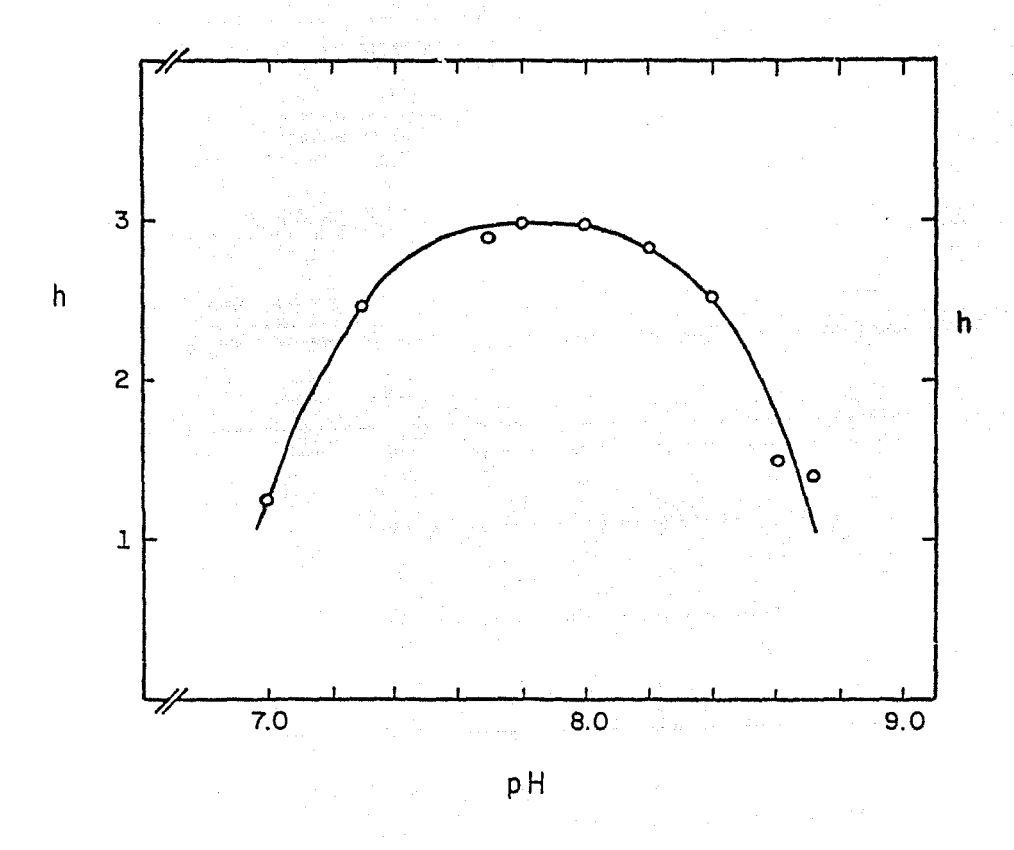


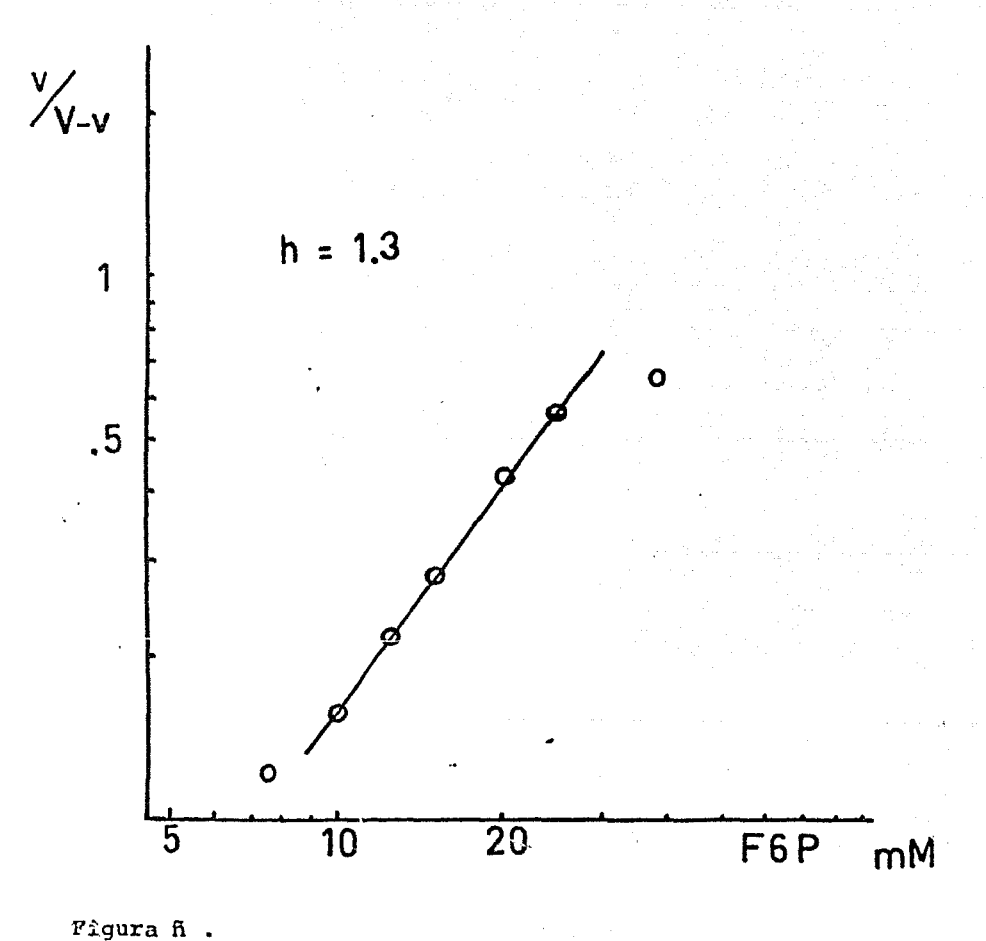
Figura n.
Variación del número de Hill en función del pH. (sentido catabólico).

homotrópica positiva con respecto a la Fru6P, sin - embargo el NH $_3$ se comporta como un sustrato de tipo Michaeliano. El valor extremo del número de Hill para la Fru6P, es independiente de la concentración - de NH $_3$ y también depende del pH pero en un menor -- grado y su valor se encontró de 1.3 a pH 7.7 (figura ñ) .

La GlcNAc6P funciona como un modelador alostérico con efecto K positivo (figura o), en ambas direcciones de la reacción hace posible la eliminación del comportamiento cooperativo cuando está presente a una concentración suficiente como para saturar a la enzima (figura p). Este compuesto carece de -- efecto sobre el Km de NH_ACl (figura q).

V. 10. Dependencia de los parámetros cinéticos conrespecto al pH

Ya se ha mencionado la dependencia de la cooperatividad con respecto al pH (figura n). En el sentido catabólico de la reacción y en presencia del activador alostérico, GlcNAc6P, la enzima presenta



Reacción en sentido biosintético. Cooperatividad con respecto a la FruóP, puesta en evidencia a través del gráfico de Hill. Estos datos provienen de un experimento semejante al mostrado en la figura m . Concentración de NH_4Cl constante, 30 mM (pH 7.7, 30°C) .

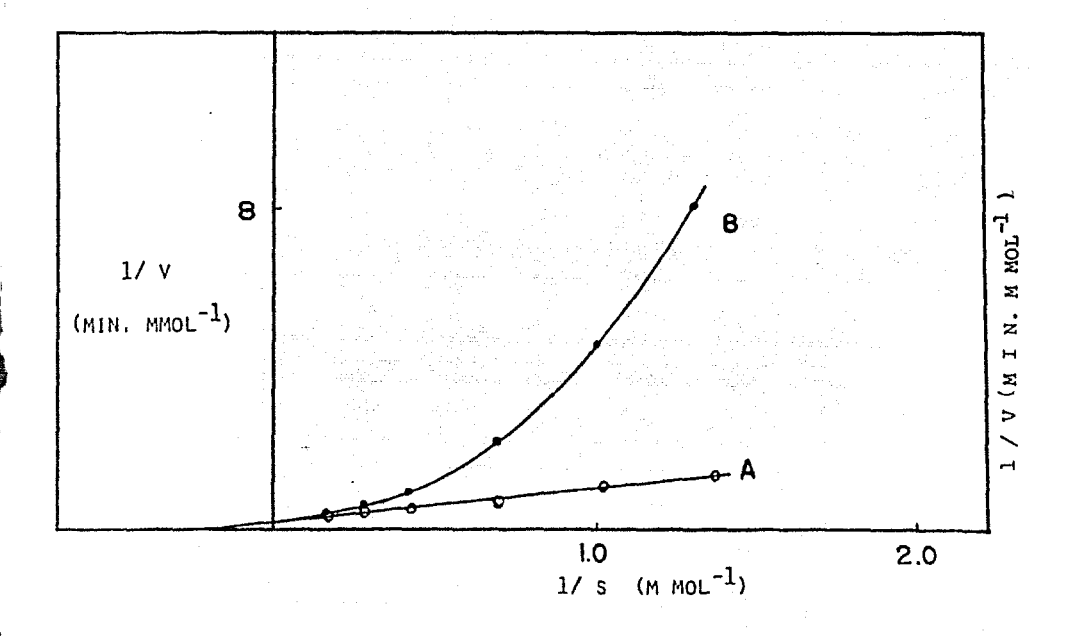


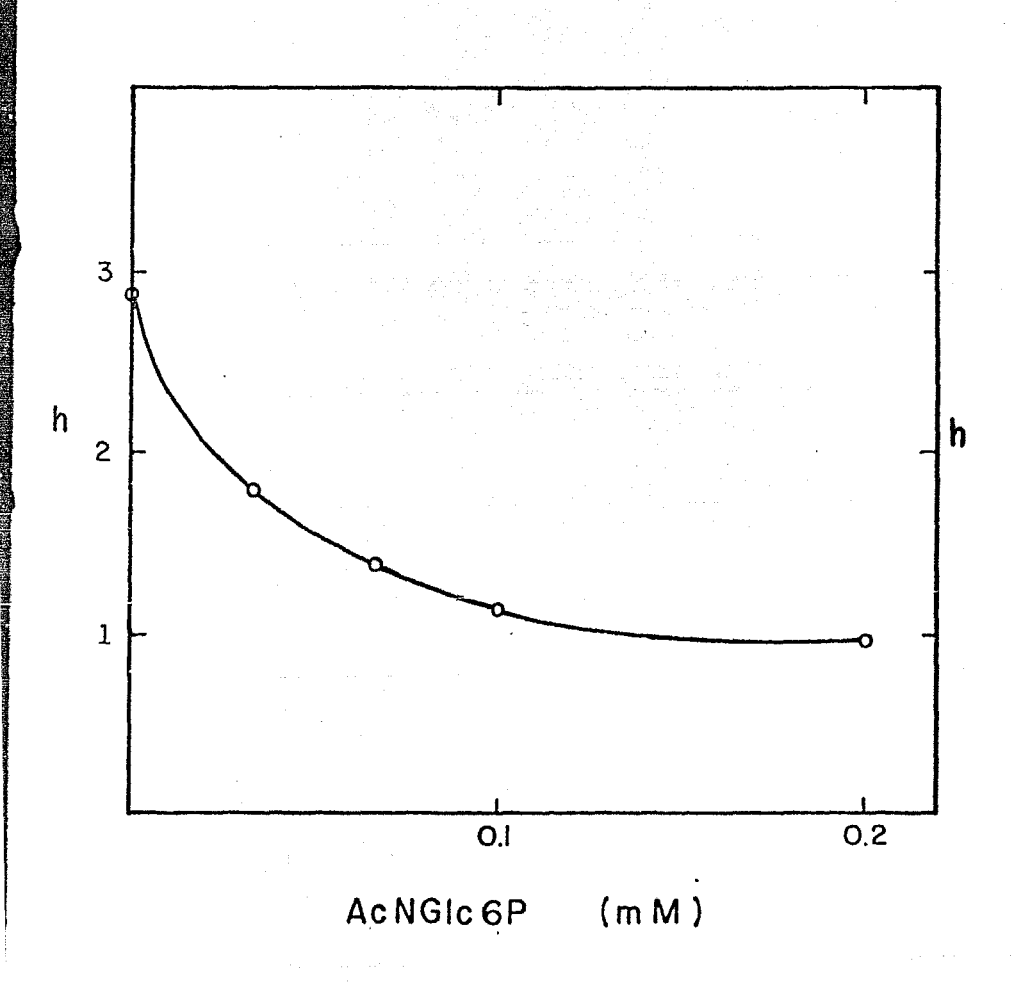
Figura o.

Reacción en sentido catabólico. Representación de los datos de un experimento semejante al de la gráfica m en forma de gráfico doble recíproco. pH 7.7, 30°C.

A - En presencia de GlcNAc6P 0.25 mM. r=0.99 , Km = 7.3

B - En ausencia de activador.

Se observa que la gráfica doble recífoca en ausencia del activador presenta la concavidad hacia arriba característica de la cooperatividad positiva.



Pigura p.

La GlcNAc6P produce la desaparición de la cooperatividad en el sentido catabólico de la reacción. Número de Hill, h, en función de la concentración de activador. (pH 7.7, 30°C).

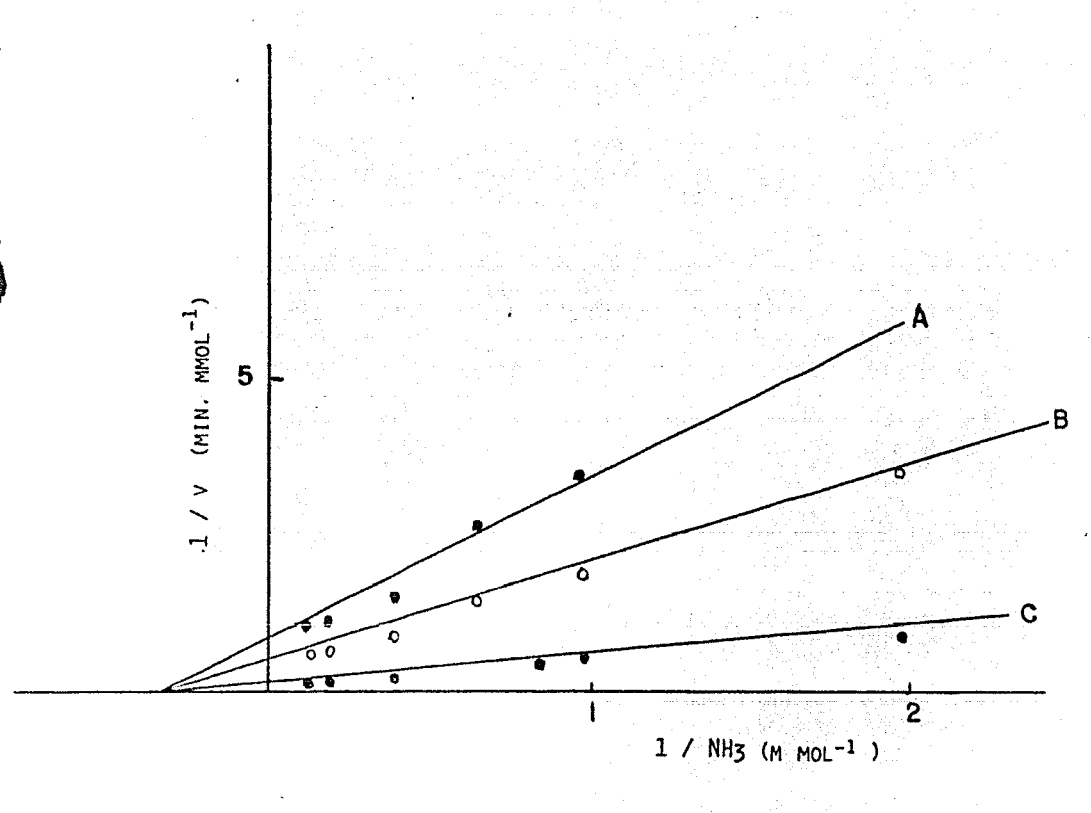


Figura q.

Efecto del GlcNAc6P sobre el Km con respecto al NH_4C1 (coordenada del sustrato expresada en concentración de NH_3). También se observó el efecto de la guanidin difosfato sobre la activación por GlcNAc6P (pH 7.7, 30°C).

A - Control, sin agregados.

B - GleNAc6P 0.14 mM + GDP 5 mM.

C - GleNAc6P 0.14 mM .

una velocidad máxima prácticamente constante dentro del intervalo 6.8 a 9.2. La constante de Michaelis para la GlcN6P resulta menor entre pH 7.6 y 8.2; - esta propiedad configura un pH óptimo para la enzima en el sentido de la formación de la Fru6P en ese intervalo de pH (figura r).

En la figura s, se muestra el Km para la Fru6P en función del pH. En esta gráfica se observa una dependencia semejante, con respecto al pH, con una zona óptima de 7.2 a 7.8. El análisis gráfico según — Dixon (37), muestra una porción recta, de pendiente +1 de pH de 6.5 a 7.5, una porción de pendiente cero hasta pH 8.2 y luego una porción de pendiente -1, - pero tan próximos entre sí que el análisis de Dixon no es válido (38).

Cuando se estudia el Km con respecto al NH₄Cl, en - función del pH, se encuentra los resultados que se presentan en la figura u. En uno de los ejes de esta gráfica, se han expresado los resultados como pKm - (= - log Km) para las concentraciones calculadas de ion NH₄⁺ presente en la mezcla de reacción. En el - otro eje, se hizo lo mismo, pero calculando el pKm- en base a concentraciones efectivas de NH₃, la especie no portonada del sustrato. En el primer caso --

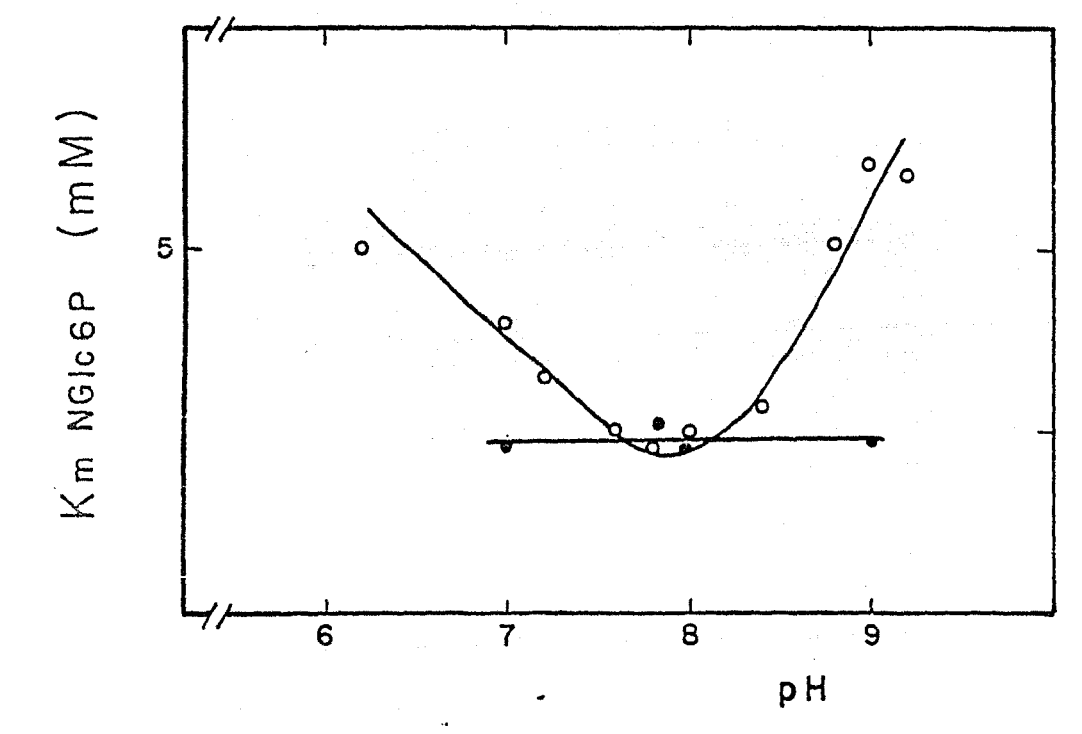


Figura r.

Estudio de la variación de los parámetros cinéticos (Km, Vmáx con el pH, en el sentido catabólico de la reacción, a 30°C .

- Vmáx
- O Km para la glucosamina 6-fosfato.

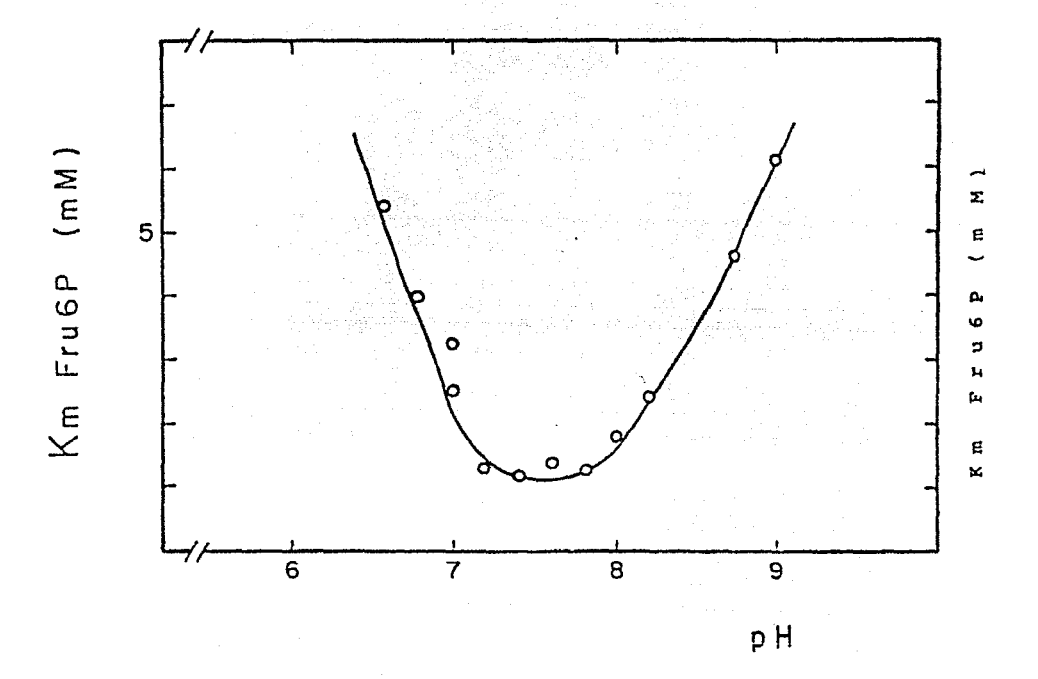


Figura s. Estudio de la variación del Km con respecto a la FruéP en función del pH. Medidas realizadas a concentración constante de $\rm NH_4C1$ ($\rm 25mM$) a $\rm 30^{\circ}C$.

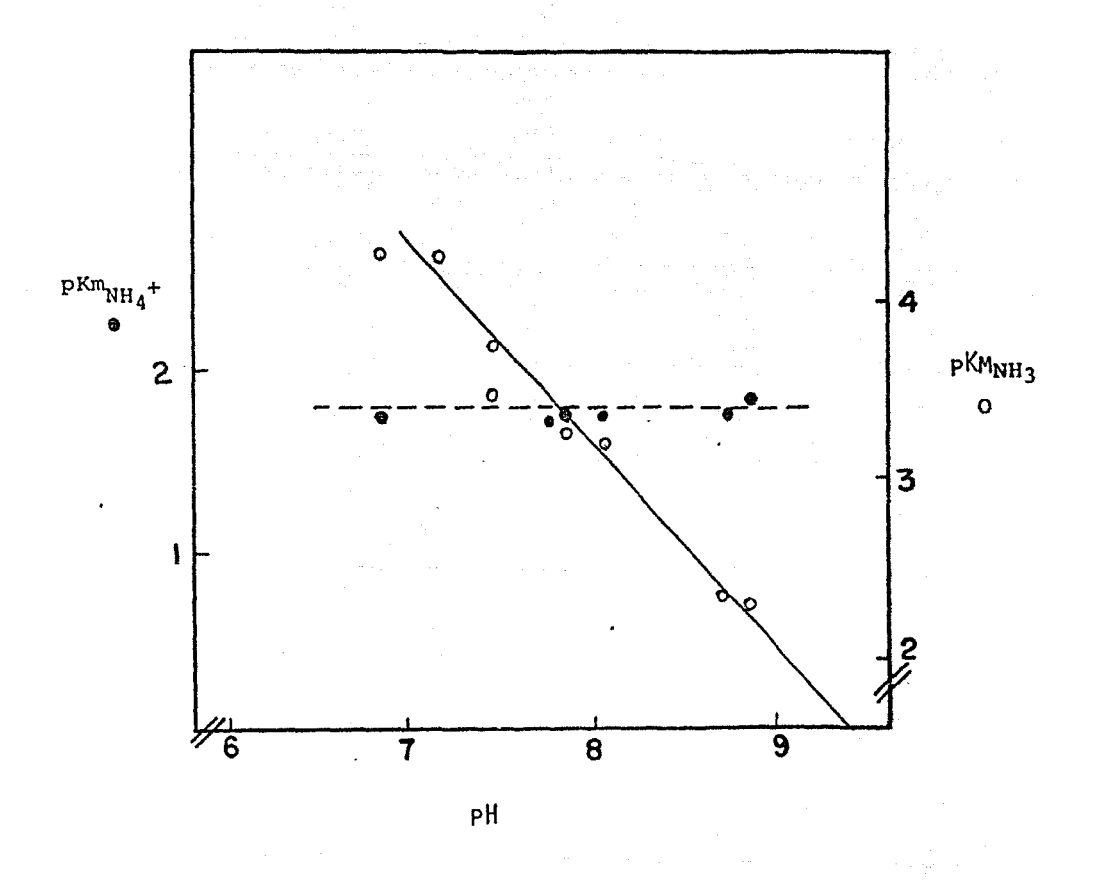


Figura u.

Estudio de la variación del pKm con respecto al NH_3 y al NH_4 + en función del pH. La pendiente experimental es de - 1.1 (r=0.99) .

se observa una valor de pRm prácticamente constante entre los valores de pH de 6.8 y 9.0. En este mismo intervalo, la variación del pKm para el sustrato no protonado, disminuye con una pendiente de -1 (-1.1 en el resultado experimental).

V. 11. Cinética en ausencia de productos

Los patrones de velocidad inicial (figuraV) indica que los Km para la Fru6P son independientes de la concentración de NH₃ (agregado como NH₄Cl), y viceversa. Se trata de un caso particular de la cinética de enzimas secuenciales birreactantes, en la cual la constante de inhibición por productos de un sustrato dado es numericamente igual a la correspondiente constante de Michaelis. En este caso, los patrones de velocidad inicial toman la forma de una familia de rectas intersectantes en el eje de las abcisas. De acuerdo a esta observación, es posible-estudiar el Km para cada uno de estos dos sustratos en función del pH, a una concentración cualquiera y fija del otro sustrato. Esta independependencia del

Km de un sustrato con la concentración del otro permite además, analizar el comportamiento cooperativo de cada uno de los sustratos del sentido birreactante en forma totalmente independiente.

V. 12. Cinética de la activación por GlcNAc6P

Cuando se estudia la activación por GlcNAc6P a concentración elevada de GlcN6P (30 mM, aproximadamente 10 Km, lo que a veces se considera como criterio de saturación) se observa un incremento de las velocidades iniciales, en función de la concentración del activador, tal como se muestra en la fi gura w. La curva es de tipo sigmoide, semejante a una curva de saturación con cooperatividad homotrópi ca positiva. Calculando una velocidad máxima extrapo lando los datos correspondientes a las concentraciones elevadas, (que siguen aproximadamente una satura ción hiperbólica) mediante los procedimientos usuales, se puede aplicar la ecuación de Hill en su forma do ble logarítmica, y calcular los valores de h. En -este caso se observa un valor de h igual a 2.8 . El valor de S_{0.5} calculando es de 58 uM, y el índice de cooperatividad de Koshland ($S_{0.9} / S_{0.1}$) (39) es diez.

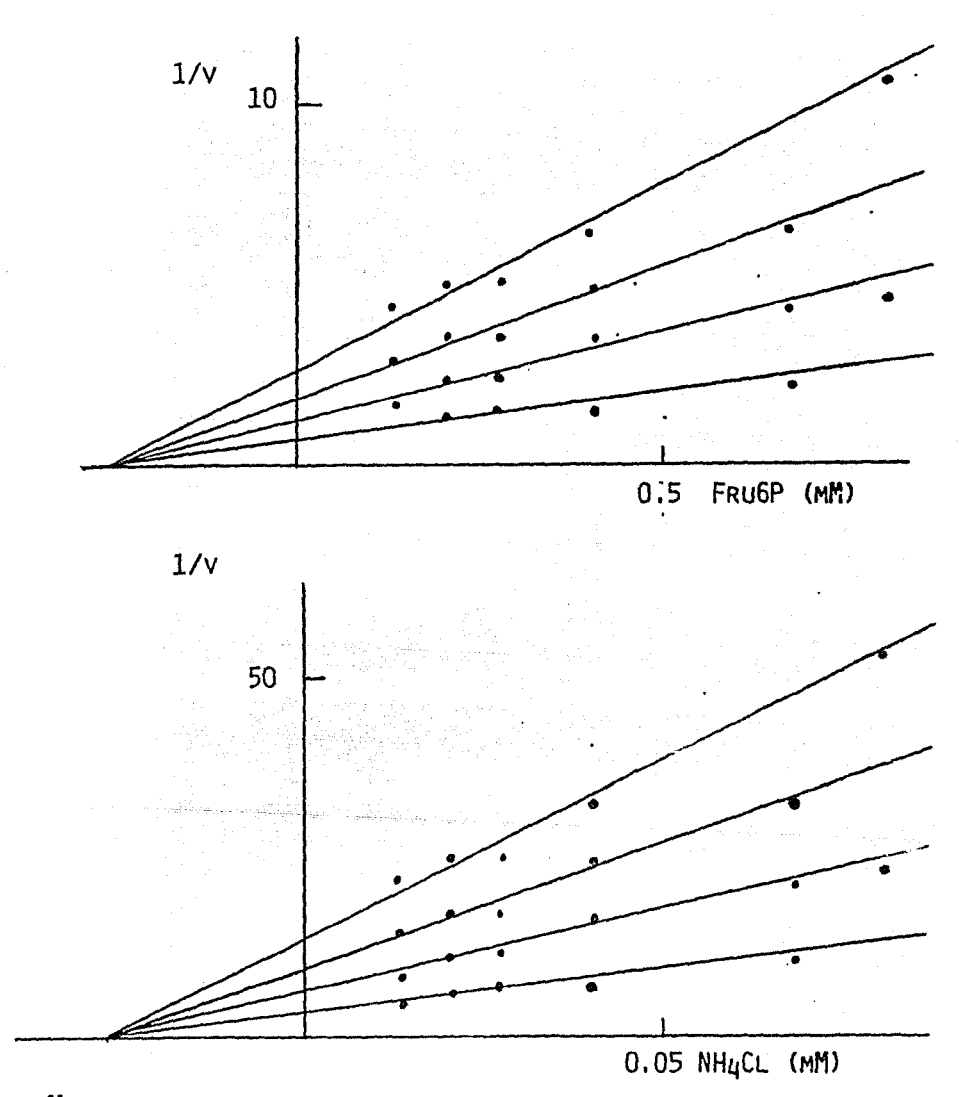


Figura V.

Patrones de velocidad inicial en el sentido biosintético, gráficos de doble recíprocos.

- A. Patrones de velocidad en función de la concentración de Fru6P a diferentes concentraciones fijas de NH₄Cl que se indican en cada una de las rectas en presencia de GlcNAc6P 0.12 mM.
- B. Patrones de velocidad en función de la concentración de NH₄Cl a diferentes concentraciones fijas de Fru6P que se indican en cada una de las rectas; en este caso no se utilozó GlcNAc6P.

En todos los casos se utilizó Tris-NC1 0.25 mM pN 7.7 a una concentración de enzima de 5 pmoles/ml con un tiempo de incubación fijo de 20'.

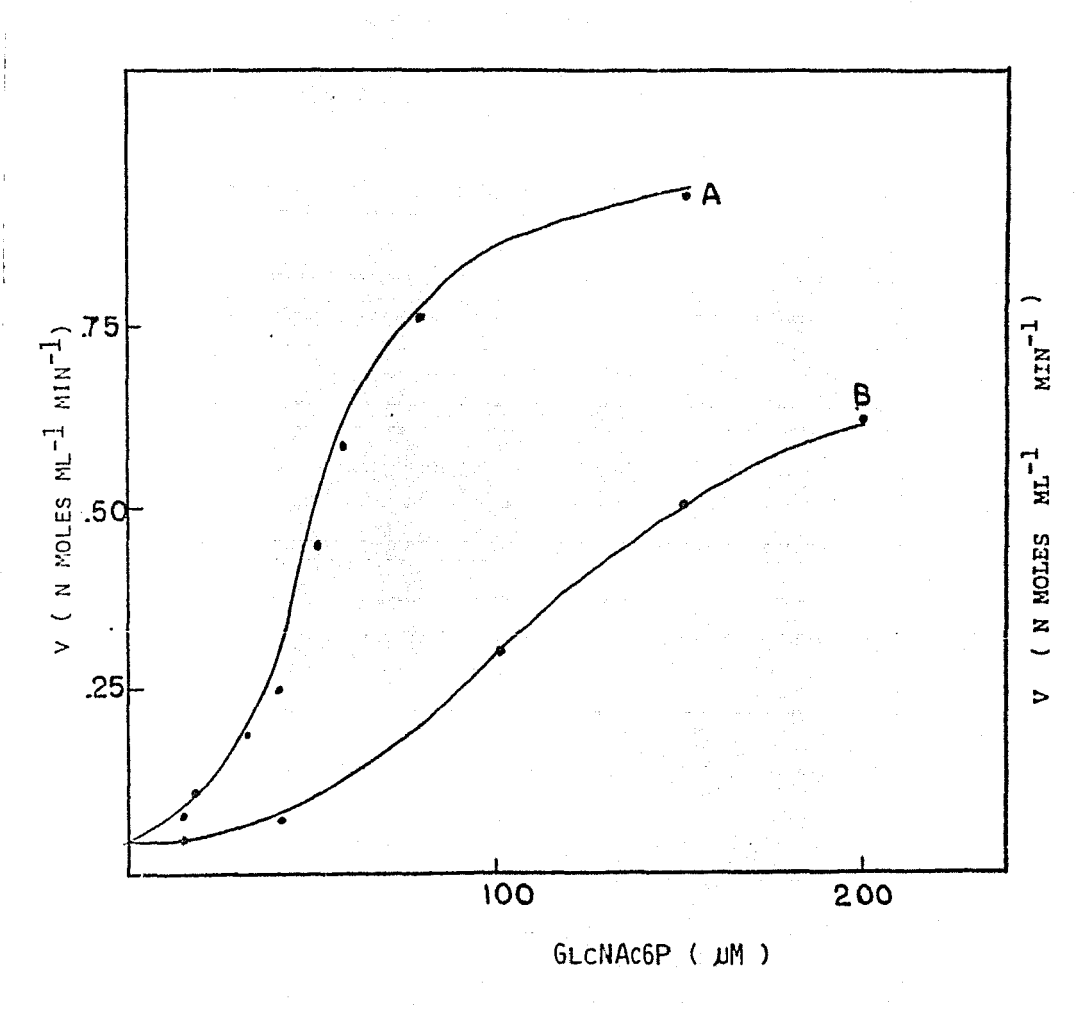


Figura w.

Velocidad de reacción en sentido catabólico, en función de la concentración del activador.

- B. Solución con GDP 5 mM; número de Hill 2.4 (r=.99) $s_{0.5}$ 58 μ M.
- λ. En ausencia de GDP 5 mM. Número de Hill 2.8 (r=.96) $s_{0.5}$ 181 μ M.

En la misma figura w se observa el efecto de la adición de la 5' guanidina difosfato sobre el - efecto activador de GlcNAc6P sobre la reacción en sentido catabólico, La S_{0.5} aumenta tres veces sin que se produzca una notable modificación de la cooperatividad. Cuando se analiza este efecto en función de la concentración de GlcN6P o Fru6P, en uno u otro sentido de la reacción se comprueba que este nucleótido es inhibidor, y que su efecto consite - en contrarrestar la acción activadora de la GlcNA6P.

VI. DISCUSION Y CONCLUSIONES

En este trabajo se presenta una técnica de purificación de la glucosamina 6-fosfato isomerasa (desaminasa) de E.coli en la cual se hace uso de
la interacción específica entre la enzima, y su ligando alostérico. En este caso, se emplea un -análogo, la epsilon-amino-N-caproíl-glucosamina-6
-fosfato unido covalentemente a un soporte inerte
de gel de agarosa en forma de pequeñas partículas
esféricas.

si bien el modelador positivo de la enzima - es el N-acetil derivado de la GlcNH26P, hemos observado que el homólogo superior correspondiente, N-propionil glucosamina-6-fosfato, tiene las mismas propiedades (40). Esto nos llevó a suponer -- que la longitud de la cadena del grupo acilo N-substituyente no es un factor determinante de la cadena del grupo acilo N-substituyente no es un factor determinante de la afinidad del activador por el correspondiente sitio alostérico, y por - lo tanto, podría utilizarse un grupo de mayor -- longitud para "anclar" este ligando a una matriz inerte para crear un medio de cromatografia de --

afinidad para la purificación de la enzima. Es - importante tener en cuenta la longitud dada por los seis metilenos del grupo caproíl que son ne cesarios como espaciadores, para permitir la interacción entre la proteína y el ligando sin interferencias de tipo estérico.

Otra posibilidad para fijar al activador o algún análogo estructural del mismo, podría ser su unión a través del grupo éster fosfato en C-6 o bien el OH situado en el carbón anomérico u - otro OH libre (C-3,C-4).

En experimentos preliminares no reportados, hemos intentado obtener una matriz de afinidad - fosforilando la quitina, de acuerdo a la técnica de Hoffpawir y Guthrie (41) con ácido fosfórico concentrado en solución de urea concentrada. Si bien se obtuvo un grado aceptable de fosforilación del polímero, el material resultante no es capaz de retener la enzima. Esto evidencia tal vez la necesidad de que el carbon 1, el 4 o ambos tengan su OH libre, o simplemente que el --- ligando no resulta accesible a la enzima por ---

impedimento estérico. Otro ligando que podría utilizarse para la creación de una matriz de afi nidad para esta enzima, es la guanidina monofosfa to o la guanidina difosfato. De acuerdo a resultados de nuestro grupo (42), estos nucleótidos actuán como moduladores negativos de la enzima, con trarrestando el efecto activador de la GlcNAc6P -(figura W) . Sin embargo la afinidad aparente de la enzima para estos nucleótidos no es tan baja como por la GlcNAc6P, (Ki de 2 a 5 mM) lo que da lugar a condiciones menos favorables para la cromatografía de afinidad; además, la interacción -sería selectiva, que con el N-acetil aminoazúcar. En cuanto a los sustratos no resultan adecuados para este fin, por su elevado Km (2.0 mM aproxima damente para la Fru6P y la GlcNH,6P, ambos a concentración saturante de GlcNAc6P, pH 7.7 30°C). -Sólo un inhibidór competitivo de la enzima, la -2-desoxi 2-amino glucitol 6-fosfato (sorbitolamina 6-fosfato, SNH,6P) tiene una constante de inhi bición suficientemente baja (5 micromolar), como para plantear la posibilidad de emplear esta inte racción para desarrollar una técnica de afinidad, sin embargo, no es fácil resolver en forma inmedia ta cómo ligar este inhibidor a una matriz de agarosa u otro material de soporte y sería necesario realizar un estudio sistemático de las propiedades de este ligante.

La especificidad de la unión de la enzima al medio estacionario de la columna, es de esperarse que sea muy elevada. Sin embargo, otras -enzimas presentadas como impurezas también podrí an fijarse en forma específica, como la N-acetil glucosamina 6-fosfato desacetilasa (E.C. 3.5 - -1.25)., N-acetil glucosamina 6-fosfato mutasa -(EC. 2.7. 5.2) o incluso la glucosa 6- fosfato-deshidrogenasa (E.C. 1.1.1.49.) que como hemos visto, también es capaz de utilizar la GlcNAc6P como sustrato. También existe la posibilidad de interacciones inespecíficas, por simple efcato de intercambio iónico sobre los grupos fosfato inmovilizados, o por tratarse de enzimas de espe cificidad amplia, como por ejemplo algunas fosfa tasas presentes en E.coli. Hay que tener en cuen ta que una desacetilasa u otra hidrolasa, al igual que una fosfatasa inespecífica dañaría la matriz de afinidad haciéndola inservible.

Por este motivo, no es posible emplear la cromatografía de afinidad desde el comienzo de la
preparación, por ejemplo en la fracción de sulfato de amonio entre 40 y 55% de saturación, (etapa
III, tabla 1). Con la finalidad de proteger la -matriz de afinidad, para cuya preparación se emplean materiales costosos, se agregó la etapa IV
(tabla 1) consistente en una cromatografía de intercambio iónico de DEAE-Sephacel, que es una
forma comercial de celulosa en forma de pequeñas
esferitas, con grupos dietil-aminoetil terminales.

Los fenómenos inespecíficos de adsorción por interacción electrostática pueden compensarse o - eliminarse mediante una fuerza iónica elevada. Por este motivo hemos incluido en nuestro amortiguador de trabajo una cierta concentración de cloruro de sodio. La especificidad de la etapa de afinidad - depende también de la elución que llevemos a cabo mediante el pasaje por la columna de una solución de GlcNAc6P l mM. La elución se puede hacer también por cambio de pH, aumento de la fuerza iónica, o ambos, con la ventaja de no consumir un metabolito costoso y que no se obtiene de fuentes comerciales, Sin embargo, se sometería la enzima a extremos de

pH que podrían disminuir el rendimiento de la preparación por desnaturalización de la enzima. El pH de adsorción y elución fue escogido en forma em pírica en 7,25. Si se usa un pH dentro del intervalo de pH optimo de la enzima (7.7) no es posible eluir la enzima con GlcNAc6P 5 mM. A pH 7.25 la afinidad de la enzima por la matriz es menor, y permite realizar el paso de purificación en condiciones más favorables, y con mayor economía de activador. La enzima purificada, ha demostrado ser homogénea, de acuerdo a diversos procedimientos y criterios de pureza. Su actividad específica es de 1060 unidades por miligramo de proteína, el valor más elevado que se haya publicado para una preparación de esta enzima en E. coli. Esto se debe a que otras preparaciones eran sólo purificaciones parciales, (2,3,7) aunque en algunos ca sos los autores reportan homogeneidad electroforé tica (15). Hay que tener en cuenta además que nues tras medidas de actividad se basan en velocidades máximas verdaderas, obtenidas extrapolando las -velocidades a concentración infinita de sustrato, y no simples medidas de actividad a concentración elevada de sustrato, cosa que con esta enzima no

es posibles debido a los elevados valores de Km - para la GlcNH₂ 6P. Los resultados sobre el peso - molecular de la enzima nativa y de subunidad, permite deducir que esta proteína posee una estructura cuaternaria hexamérica, constituida por subunidades de masa igual o muy semejante. Estas seis subunidades pueden estar dispuestas de acuerdo a tres tipos fundamentales, el hexágono plano, el - octaedro (o antiprisma trigonal) y el prisma -- trigonal.

Los datos de microscopía electrónica recientemente obtenidos por el grupo (43) muestran una estructura aproximadamente circular de 17.8 ± 1.3 nm de diámetro con una distribución plana compues ta por seis subunidades.

Si bien la técnica de electroforesis en presencia de dodecil sulfato de sodio, no permite de tectar pequeñas diferencias de peso molecular, -- como las que existen entre las cadenas alfa y beta de hemoglobina, por ejemplo, la identidad de las seis subunidades puede resolverse por electroenfoque en medios desnaturalizantes. En este caso -

la separación se basa en el pH isoeléctrico de la enzima y no en su peso molecular, y una pequeña - diferencia en la composición de subunidades de dos tipos semejantes pero no iguales sería detectada. En estas condiciones, se ha observado la aparición de una única banda perfectamente enfocada.

Por lo tanto, es posible suponer que se trata de un hexámero formado por seis subunidades iguales de 29 500 daltones de peso, aproximadamente. El peso más probable para la molécula entera, es entonces de 177 000 daltones. El pH isoeléctrico, y la composición de aminoácidos no ofrecen particularidades notables, constituyen información que podrá ser útil en ulteriores estudios comparados con otras fuentes de esta enzima, cuando sean estudiadas.

La composición de aminoácidos proporciona in formación útil además, para el trabajo estructural, mediante datos como el coeficiente de absortividad molar, que hace posible trabajar en el experimentos cinéticos conociendo con precisión la concentración de la enzima, y el volumen específico parcial, que podrá hacer factible la medida precisa del peso molecular por sedimentación en equilibrio, en caso de

El estudio cinético revela que la enzima adquiere una cinética perfectamente Michaeliana, a concentración saturante de GlcNAc6P. Esto permitiría plantear la validez de un modelo de fijación exclusiva (modelo de Wyman-Monod-Changeaux restringido). Esta hipótesis ha sido verificada recientemente en nuestro laboratorio. Los datos para la reacción en sentido catabólico pueden ajustarse a la ecuación de Horn y Bjorning (44) basado en la fijación exclusiva de GlcN6P. Los datos se ajus tan con correlación mayor o igual a 0.97, y permite calcular una constante alostérica de 80.1 y un número de sitios inteactuantes de 3.0 (resultados no publicados). De confirmar estos resultados habrá que suponer que cada sitio esta formado con la contribución de dos subunidades vecinas.

El estudio de la cinética de velocidades iniciales, en presencia de GlcNAc6P muestra un caso muy particular de un mecanismo de tipo secuencial, en el cual la cinética en ausencia de productos puede describirse sólo con dos constantes relacionadas cada uno con cada sustrato. (En los meca-

nismos secuenciales se requieren tres constantes; dos constantes de Michaelis y una constante de -inhibición). En este caso, Kia = Km para ambos -sustratos (FruéP y NH₃), lo que da lugar a esta -ecuación cinética:

$$\frac{v}{Vm} - \frac{(Fru6P)}{\left[Km_{Fru6P} + (Fru6P)\right]} \left[\frac{Km_{NH_4}^+ + (NH_4^+)}{\left[Km_{NH_4}^+ + (NH_4^+)\right]}\right]$$

Nuestros resultados no permiten sacar una conclusión acerca del orden de adición de la Fru6P y el NH+ al sitio activo. Este aspecto ha sido estudia do recientemente por Silva y Suastegui (45) mediante experimentos de inhibición por productos, inhibidores competitivos, sustratos alternativos y experimentos en equilibrio.

Nuestra preparación enzimática presenta una intensa cooperatividad homotrópica positiva con respecto al sustrato, en el sentido catabólico de la reacción. También existe una leve cooperatividad del mismo tipo con respecto a la FruéP, pero el NH₄ es un ligante absolutamente michaeliano. Esta propiedad de la enzima de E.Coli no ha sido

observada hasta ahora por ninguno de los otros autores que han estudiado esta enzima en bacterias,—hongos y tejidos animales. Esta discrepancia podría explicarse suponiendo que dicha propiedad sea exclusiva de la enzima de E.coli, pero que no aparece—en otras especies. Sin embargo, tampoco ha sido observada por Comb y Roseman (2) ni por Milderfort y Rose (15), quienes trabajaron con E.coli.La intensidad del fenómeno es tal que no es posible suponer que haya pasado inadvertida. Tal vez, como—nuestra técnica de preparación esta basada en—procedimientos menos agresivos, posiblemente obtenemos la enzima en una forma particularmente in tacta. Esto es válido, principalmente para la eta pa de cromatografía de afinidad.

En las enzimas alostéricas es frecuente encontrar cooperatividad homotrópica positiva con respecto a algunos de los sustratos, y no es de sorprender que esta enzima siga la regla general. Una excepción bien conocida, a esta tendencia, es la enzima glucosamina 6-fosfato isomerasa (formadorade glutamina), también conocida como glucosaminasintetasa (E.C. 5.3.1.19.). Aunque se hubiese podido esperar que las dos glucosamina 6-fosfato isome

rasas estén evolutivamente realcionadas, y compartiesen esta propiedad, (alostería sin cooperatividad), nuestros resultados muestran una clara interacción entre las subunidades que fijan la GlcNH₂6P, que es más intensa a su pH óptimo, que la correspondiente a la hemoglobina.

En el sentido opuesto de la reacción, la en zima se asemeja más a la isomerasa dependiente de glutamina, ya que si bien está sujeta a importante regulación alostérica, presenta una cooperatividad mínima con respecto a la FruéP, sustrato cuyo Km es intensamente modificado por la GlcNAc6P. Es im portante señalar, que la cooperatividad homotrópi ca en sentido catabólico es muy intensa, mientras que en el sentido opuesto es apenas detectable. -Los principales modelos que se han propuesto para explicar tanto el comportamiento coopetativo como la regulación por efectos alostéricos proporcionan una visión unificada de ambos procesos, que son una consecuencia de conformaciones extremas, con afinidades diferentes por los sustratos hacia los cuales existe cooperatividad, o por los ligandos activadores o inhibidores (47,46). En esta enzima,

se observa que en el sentido catabólico, la relación entre cooperatividad y activación por GlcNAc6P es la esperada de acuerdo a la teoría. La activación, consiste en la adquisición de cinética hiperbólica (h cambia de 3 a l), pero la velocidad -- máxima no se modifica. Esto es lo que Monod denomina un sistema K puro (46).

En sentido biosintético, en cambio, la cooperatividad es escasa, y su desaparición produciría poca o ninguna activación. Sin embargo la activación en este sentido es intensa, y se manifiesta como una reducción muy significativa de la Km para la FruéP por la acción del activador, GlcNAcéP. - En este sertido de la reacción, la activación es - muy semejante a la cinética obtenida con un activador de tipo esencial (salvo una pequeña velocidad basal sin activador), en que para cualquier - concentración de activador, la cinética es de tipo Michaelis-Henri.

Llama la atención que en una misma molécula alostérica, y un sitio ligante igual, (el sitio de la FruéP y el de la GlcNH26P son necesariamente - el mismo; aunque alguno de los grupos ligantes --

que participan en uno y otro caso pueden no ser los mismos) la activación por GlcNAc6P pued explicar por la desaparición de la cooperatividad en un sen tido de la reacción pero no en el otro, para el cual es necesario postular una activación alostérica en un sistema no cooperativo. Esta última si tuación ha sido mencionada por Monod y col. (46) como una característica de la glucosamina 6-fosfa to sintetasa (glucosamina 6-fosfato isomerasa, de pendiente de la glutamina) y que os incompatible con su modelo de las transiciones concertadas. La enzima, tanto de hígado de rata, como de cartílago de pollo (49,48) es inhibida por 5' AMP y UDP-Gl cNAc, y se ha demostrado el carácter alostérico de estas inhibiciones. Sin embargo, tanto la enzi ma fuertemente inhibida, como la enzima sin inhibidores presenta una total ausencia de cooperatividad. Este fen6meno no ha sido suficientemente estudiado, y por lo contrario, la gran mayoría de las enzimas alostéricas presentan cooperatividad, como lo requieren los modelos mencionados.

En nuestro caso, hemos encontrado en una misma molécula de enzima un comportamiento alostérico

clásico, monodiano para el sentido catabólico, y un comportamiento no ajustable al modelo clásico, para la racción reversa, aún cuando el activador es el mismo ligando, la GlcNAc6P. Estas observaciones tendrán que llevarnos a replantear la interpretación teórica de las propiedades alostéricas de esta enzima aunque al momento presente, no tengamos un modelo interpretativo de este comportamiento aparentemente anormal.

VII. BIBLIOGRAFIA

- 1. Leloir L.F. y Cardini C.E. Biochim Biophys Ac ta (1956) 10, 169
- 2. Comb D.G. y Roseman S. J. Biol Chem (1958) --- 232, 807
- 3. Pattabiraman T.N. y Bachhawat B.K. Biochim Biophys Acta (1961), 54,273
- 4. Nakada H.I. en Methods in Enzimology (1966)
 IX , 575. Wood W.A. Acad.Press.New Y.
- 5. Bates C.J. y Pasternak C.A. Biochem J. (1965) 96, 147
- Benson R.L. y Friedman S. J. Biol Chem (1970)
 245, 2219
- 7. Enhoter E. y Kress H. Dev Biol (1980) 78,63.
- 8. Imanaga Y. J. Biochem (Tokio) (1957) 44, 69.
- 9. Veerkamp J.H. Arch Bichem Biophys (1969) 129, 248.
- 10. Kornfeld R. J. Biol Chem (1962) 242, 31.
- 11. Witerburn P.J. y PhelpsC.F. Biochem J. (1971)
- 12. Mahler H. Cordes E. "Biological Chemistry" (19 68) Harper Inter. New Y. p. 19.
- 14. Amadori M. Atti Accad Nazl Lincei (1929) 9 (6)
 68 Chem Abs (1929) 23, 3211,3443.
- 15. MildefortC.F. y Rose I.A. Biochemistry
 1977) 16, 1590

- Morgan W.T. y Elson C.A. Biochem J. (1934) 28
- 17. Roe J.H. J. Biol Chem (1934) 107, 15.
- 18. Lee J.J. y Wilson I.B. Biophys Acta (1971) 242,519
- 19. Storer A.C. y Cornish-Bowden A. Biochem J. (1974)
 141 , 205
- 21. Bucher T, Buicgun Buiogts Acta (1942) <u>1</u>
 192
- 22. Bradford M.M. Anal Buichem (1976) 72, 248
- 23 Fehrnstrom H., Moberg U. LKB application note No. 250 (1977)
- 24. Laemmli U.K. J Mol Biol (1973) 80, 575.
- 25 Holguín J.A. y Más J. Boletin de Educación
 Bioguímica (1982) 1, 16.
- 26. Malik N. y Berrie A. Anai Biochem (1972) 40
 292.
- 27. Martin R.G. y Ames B.N. J Biol Chem (1961)
 236, 1372
- 28. Calcagno M., Diaz-Zagoya J. y Gascon A.

 Anal Biochem (1976) 73, 386
- 29. JolleyW., Allen K. y Griffith O. Anal Biochem (1976) 21, 454
- 30. Calcagno M. y Rendón J. Anal Buichem (envia do a publicación).
- 31. Moore S. J Biol Chem (1962) 238, 235.
- 32. Ellman G.L. Arch Bichem Biophys (1949) 82,

- 33. Goodwin T.W. y Morton R. Bioch J (1946) $\underline{40}$, 628
- 34. Lakshmanan T.K. y Lieberman S. Arch Biochem
 Biophys (1954) 53, 258
- 35. Mc Meekin etal En Colowiek G. y Kaplan N.

 Methods in Enzymology. Vol. I A.C.
- 36. Wyman J. Proc Nazl Acad. Sci (1975) 72, 3983
- 37. Dixon M. y Webb E. "Tge Enzymes" (1979) Logman 3a. Ed. p. 138-164
- 38. Alberty R.A. y Massey V, Biochim Biophys Acta (1954) 13, 347
- 39. Koshland D.E. En Boyer P.D. "The Enzymes" 3a. ed. vol. 1, cap. 7, Acad Press, N.Y. p 342
- 40. Resulatados no publicados.
- 41. Hoffpauir C.L. y Guhier J.B. Tex. Rev. J. (1950)

 20, 617
- 42. Suástegui j., Silva A. y Calcagno M. Comunicacion al XVI congreso Mexicano de -Química y Aplicada. Rev.Soc.Mex. de
 Química. (1981).
- 43. Suástegui J. Viveros R. Cantellano E. y Calcagno
 M. Comunicación al XIV Congreso Nacio
 nal de la Sociedad Mexicana de Bioqui
 mica, Rev.Soc.Mex. Bioq. Guadalajara
 (1982).
- 44. Horn A. y Bjorning H. FEBS letters (1969) 3, 325.
- 45. Silva S.A. y Suástegui H.J., Tesis de licenciatura, ENEP Zaragoza, UNAM (1982).

- 46. Mond J., Wyman J. y Changeux J.P. J Mol Biol. (1965) 12, 88.
- 47. Koshland D.E., Nemethy S y Filmer D. Biochemistry
 9 1966) 5, 365
- 48. Arrambide E. y Calcagno M. Experientia (1970) 24
 896.
- 49. Calcagno M. y Mizraji E. Enzimologia (1971) 41, 175.